

Projeto de bases de pilares

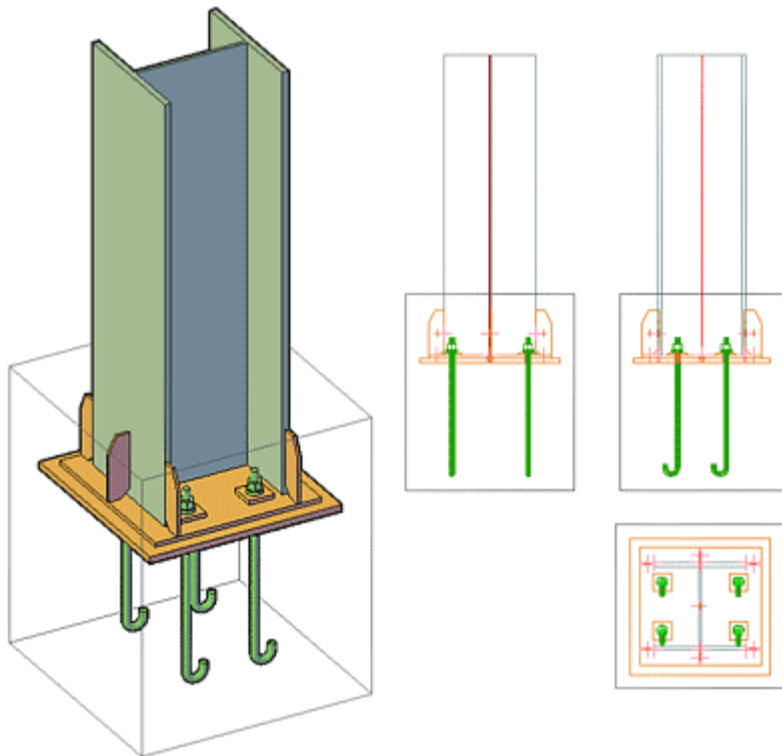
Curso de Projeto e Cálculo de Estruturas metálicas

PARTE 1

INTRODUÇÃO

Curso de Projeto e Cálculo de Estruturas metálicas

São as ligações de interface entre o concreto e o aço



NBR8800 não trata sobre o assunto

6.8 Bases de pilares

Informações para o projeto e o cálculo de bases de pilares podem ser obtidas em S.2. Quando aplicável, a ancoragem dos chumbadores no bloco de concreto deve obedecer às prescrições da ABNT NBR 6118.

S.2 Texto de interesse de 6.8

Fisher, J. M. & Klaiber, L. A. (2006). Base plate and anchor rod design. Steel Design Guide 1, 2a. edição, American Institute of Steel Construction, Chicago.

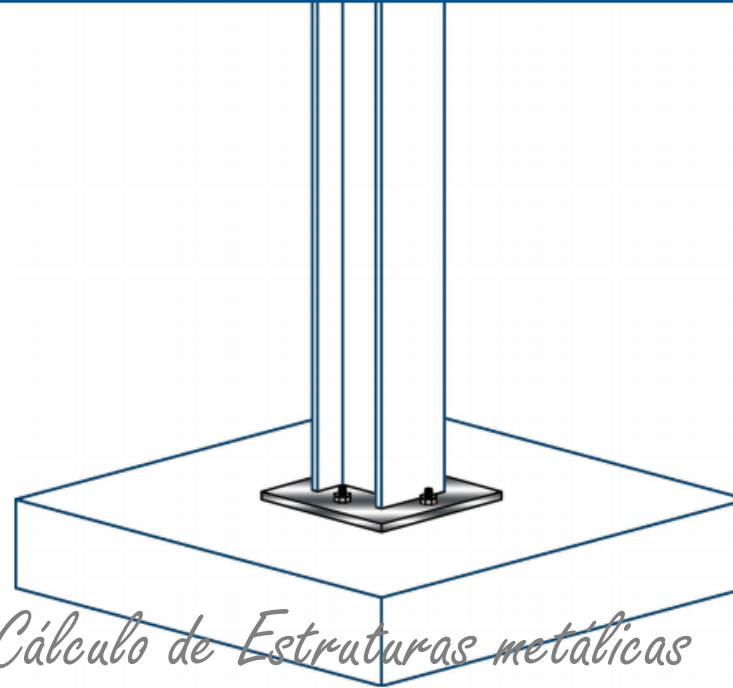
Mas faz referência a um famoso manual da AISC



Steel Design Guide

Base Plate and Anchor Rod Design

Second Edition



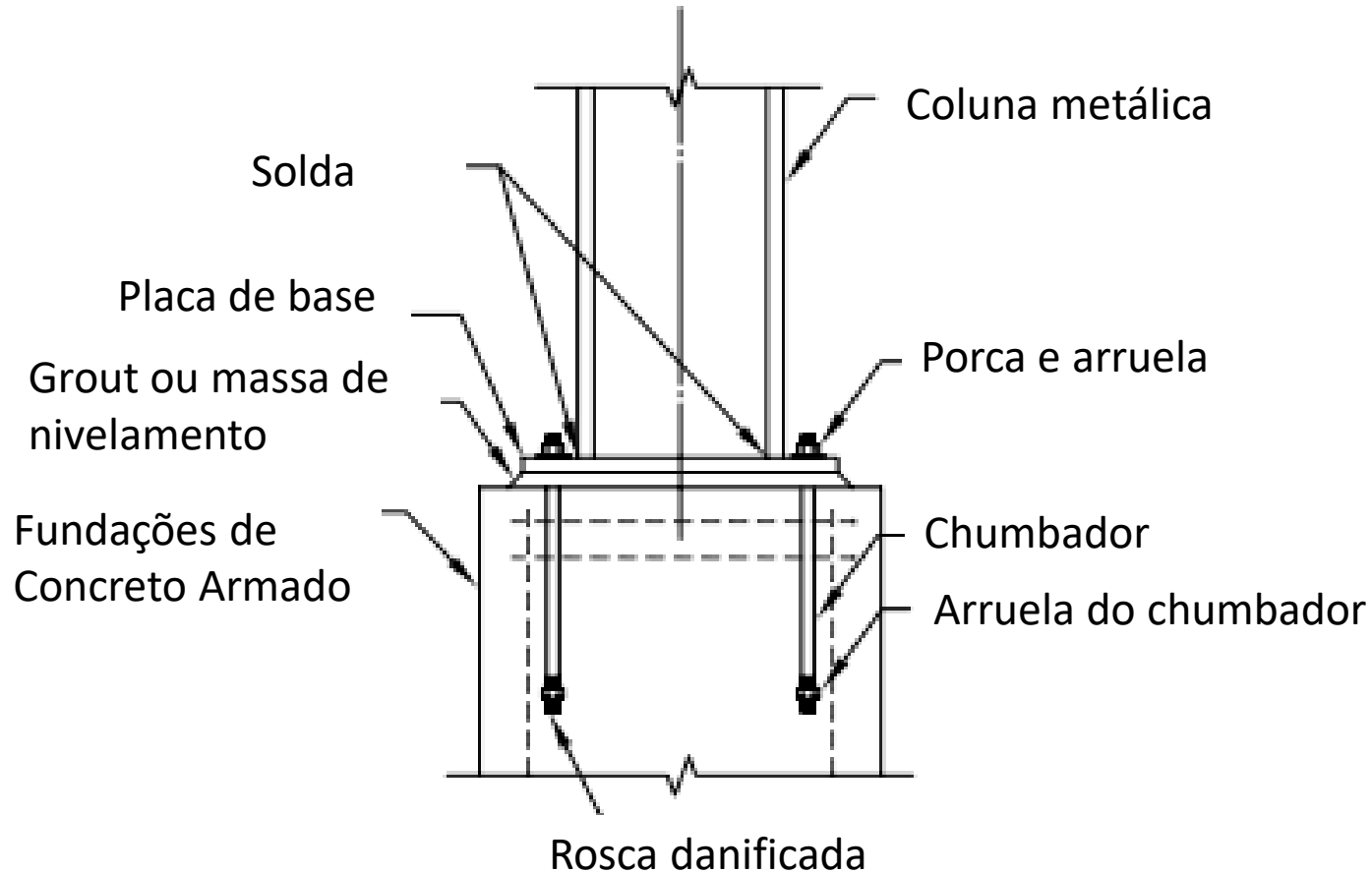
Curso de Projeto e Cálculo de Estruturas metálicas

Podem ser classificadas em três tipos

- ✓ ***Bases para cargas axiais concêntricas***
- ✓ ***Bases para pequenos momentos fletores***
- ✓ ***Bases para grandes momentos fletores***

Além de também ser necessário, por vezes o cálculo para suportar esforços cortantes

Componentes básicos de uma conexão de pilar



Materiais para placas de Base

| Espessura (t) | Material |
|------------------------------------------|-----------------------------------------------------------------------------|
| $t \leq 101,6 \text{ mm (} 4'' \text{)}$ | ASTM A36* (ABNT MR250) ASTM A572 GR42 ou GR50 ASTM A588 GR42 ou GR 50 |
| $101,6\text{mm} < t \leq 152,4\text{mm}$ | ASTM A36* (ABNT MR250) ASTM A572 GR42 ou GR50 ASTM A588 GR42 ou GR 50 |
| $t > 152,4\text{mm (} 6'' \text{)}$ | ASTM A36* (ABNT MR250) |

* Preferir A36 caso não haja nenhuma restrição

| Materiais para Chumbadores | | |
|----------------------------|-------------------------|-------------------------|
| Aço | Fy(kN/cm ²) | Fu(kN/cm ²) |
| SAE 1020 | 24 | 38,7 |
| ASTM A36 | 25 | 40 |

Fabricação e Acabamento das Placas de Base

Normalmente são cortadas aplicando calor (maçarico, Plasma etc.)



Fabricação e Acabamento das Placas de Base

Chapas de espessura < 2'' mm não necessitam ser usinadas



Chapas entre 2'' e 4'' de espessura podem ser usinadas somente na face de contato com a coluna, prever acréscimo de 5mm

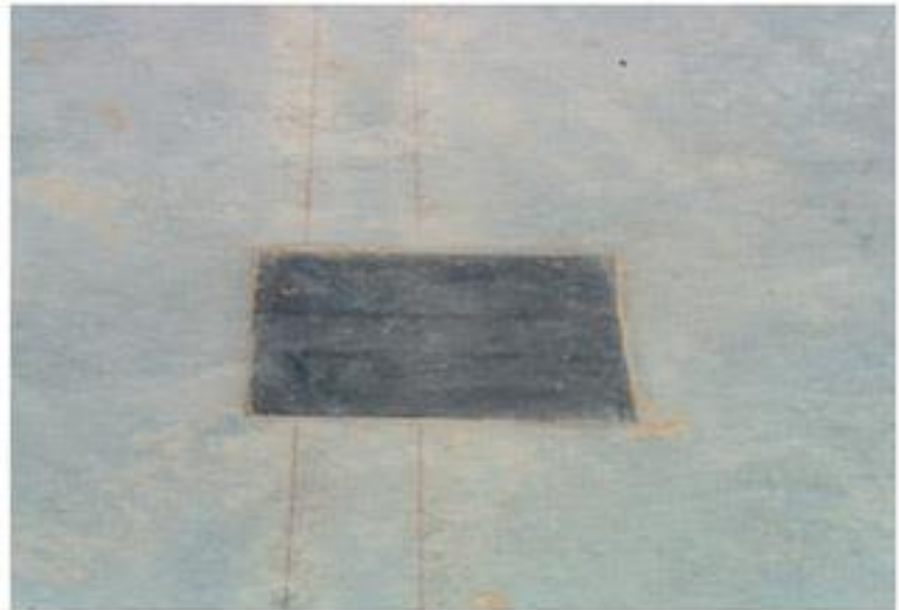
Chapas maiores que 4'' necessitam usinagem de ambos os lados e acréscimo de 10mm (caso a face inferior não seja grauteada)

Posicionamento por gabaritos



Curso de Projeto e Cálculo de Estruturas metálicas

Placas de Base com chumbadores Soldados



Dimensões recomendadas de furos em chumbadores

| Ø Chumb. | Ø Euro | Ø Arruela | Espessura da porca |
|-----------------|---------------|------------------|---------------------------|
| 19 mm (3/4") | 33mm | 50mm | 6,4mm |
| 22mm (7/8") | 40mm | 62mm | 8mm |
| 25mm (1") | 46mm | 76mm | 10mm |
| 32mm (1.1/4") | 52mm | 76mm | 12mm |
| 38mm (1.1/2") | 58mm | 89mm | 12mm |
| 45mm (1.3/4") | 70mm | 102mm | 16mm |
| 50mm (2") | 83mm | 127mm | 19mm |
| 62mm (2.1/2") | 83mm | 140mm | 22mm |

Bellei, 2010 adota:

| Ø Chumb. | Ø Euro | Ø Arruela |
|-----------------|--------------------|-------------------|
| 16 a 22 | Ø chumbador + 8mm | 2,2 x Ø Chumbador |
| 25 a 44 | Ø chumbador + 10mm | 2,0 x Ø Chumbador |
| 50 a 76 | Ø chumbador + 15mm | 2,0 x Ø Chumbador |

Curso de Projeto e Cálculo de Estruturas metálicas

PARTE 2

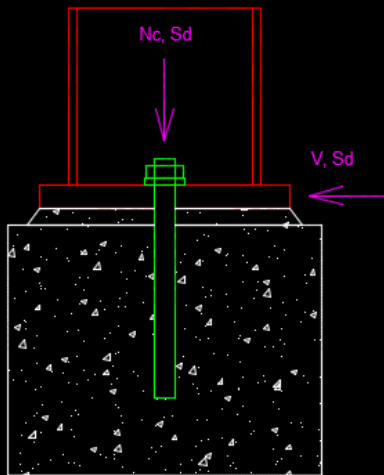
PROJETO DE

CHUMBADORES

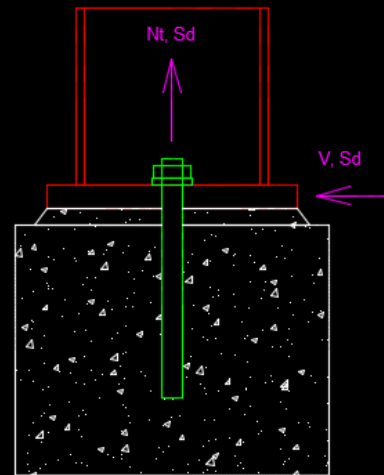
Curso de Projeto e Cálculo de Estruturas metálicas

Projeto de Chumbadores

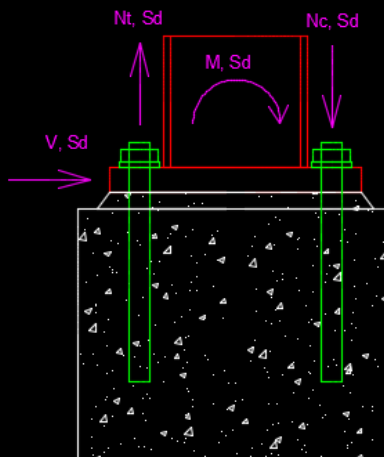
Somente Cisalhamento



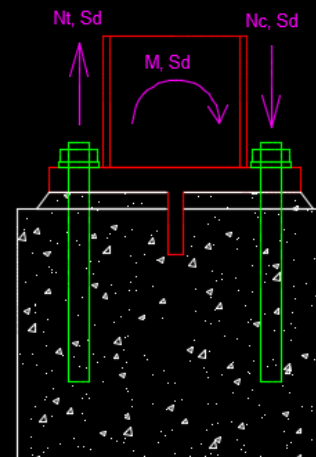
Tração e Cisalhamento



Tração e Cisalhamento



Somente Tração



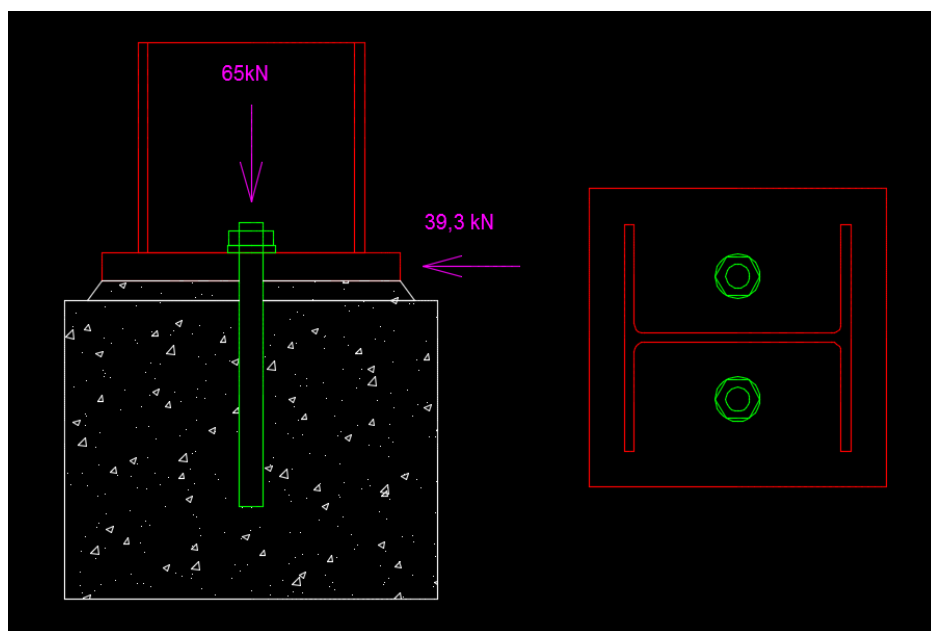
Curso de Projeto e Cálculo de Estruturas metálicas

Diâmetro necessário para chumbadores sujeitos somente ao cisalhamento

$$V_{Rd} = \frac{0,4 \cdot A_{chu} \cdot F_u}{1,35} \rightarrow \frac{0,4 \cdot \pi \cdot d_{chu}^2 \cdot F_u}{4 \cdot 1,35} \rightarrow d_{chu} = 2,07 \sqrt{\frac{V_{sd}}{F_u}}$$

Diâmetro necessário para chumbadores sujeitos somente ao cisalhamento

Exemplo 1: Dimensionar o diâmetro dos chumbadores SAE 1020 necessário para a placa de base abaixo (cargas já devidamente fatoradas conforme Tabela 1 da NBR8800)



Temos 2 chumbadores, portanto:

$$V_{sd} = \frac{39,3}{2} = 19,65 \text{ kN}$$

$$d_{chu} = 2,07 \sqrt{\frac{V_{sd}}{F_u}}$$

$$d_{chu} = 2,07 \sqrt{\frac{19,65}{38,7}} = 14,75\text{mm}$$

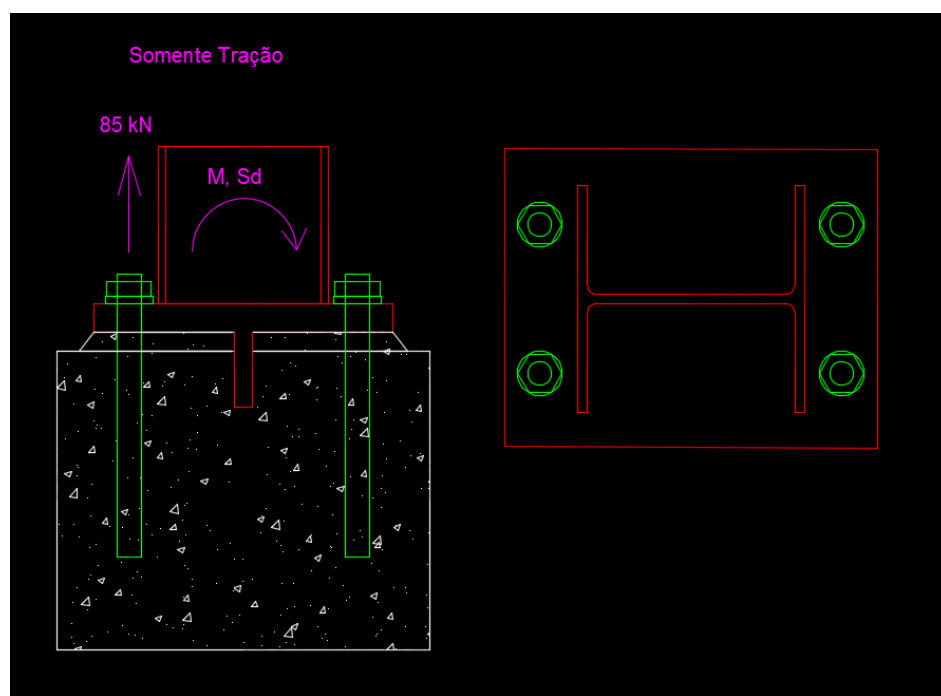
Adotar: D 5/8" (15,87mm)

Diâmetro necessário para chumbadores sujeitos somente à tração

$$N_{Rd} = \frac{0,75 \cdot A_{chu} \cdot F_u}{1,35} \rightarrow \frac{0,75 \cdot \pi \cdot d_{chu}^2 \cdot F_u}{4 \cdot 1,35} \rightarrow d_{chu} = 1,51 \sqrt{\frac{N_{Sd}}{F_u}}$$

Diâmetro necessário para chumbadores sujeitos somente ao cisalhamento

Exemplo 2: Dimensionar o diâmetro dos chumbadores SAE 1020 necessário para a placa de base abaixo (cargas já devidamente fatoradas conforme Tabela 1 da NBR8800, e também se refere à carga em cada chumbador tracionado)



$$d_{chu} = 1,51 \sqrt{\frac{V_{Sd}}{F_u}}$$

$$d_{chu} = 1,51 \sqrt{\frac{85}{38,7}} = 22,37\text{mm}$$

Adotar: D 1''(25,4mm)

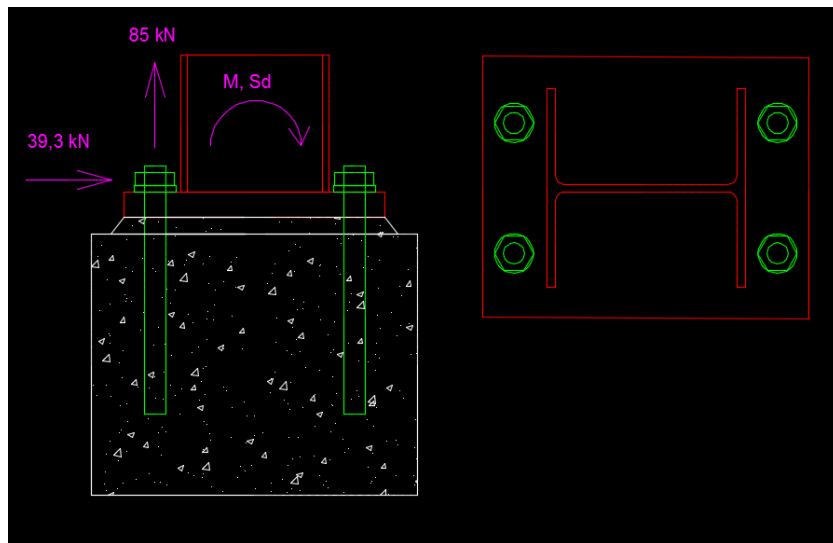
Diâmetro necessário para chumbadores sujeitos à tração e cisalhamento combinados

$$\left(\frac{N_{tSd}}{N_{tRd}}\right)^2 + \left(\frac{V_{tSd}}{V_{tRd}}\right)^2 \leq 1 \rightarrow \quad \left(\frac{\frac{N_{tSd}}{0,75 \cdot A_{chu} \cdot F_u}}{1,35}\right)^2 + \left(\frac{\frac{V_{Sd}}{0,4 \cdot A_{chu} \cdot F_u}}{1,35}\right)^2 \leq 1$$

$$d_{chu} = \sqrt{1,27 \cdot \sqrt{\frac{11,39 \cdot V_{sd}^2 + 3,24 \cdot N_{sd}^2}{F_u^2}}}$$

Diâmetro necessário para chumbadores sujeitos somente ao cisalhamento

Exemplo 3: Dimensionar o diâmetro dos chumbadores SAE 1020 necessário para a placa de base abaixo (cargas já devidamente fatoradas conforme Tabela 1 da NBR8800, A carga de cisalhamento refere-se a toda a ligação e a tração refere-se a cada chumbador)



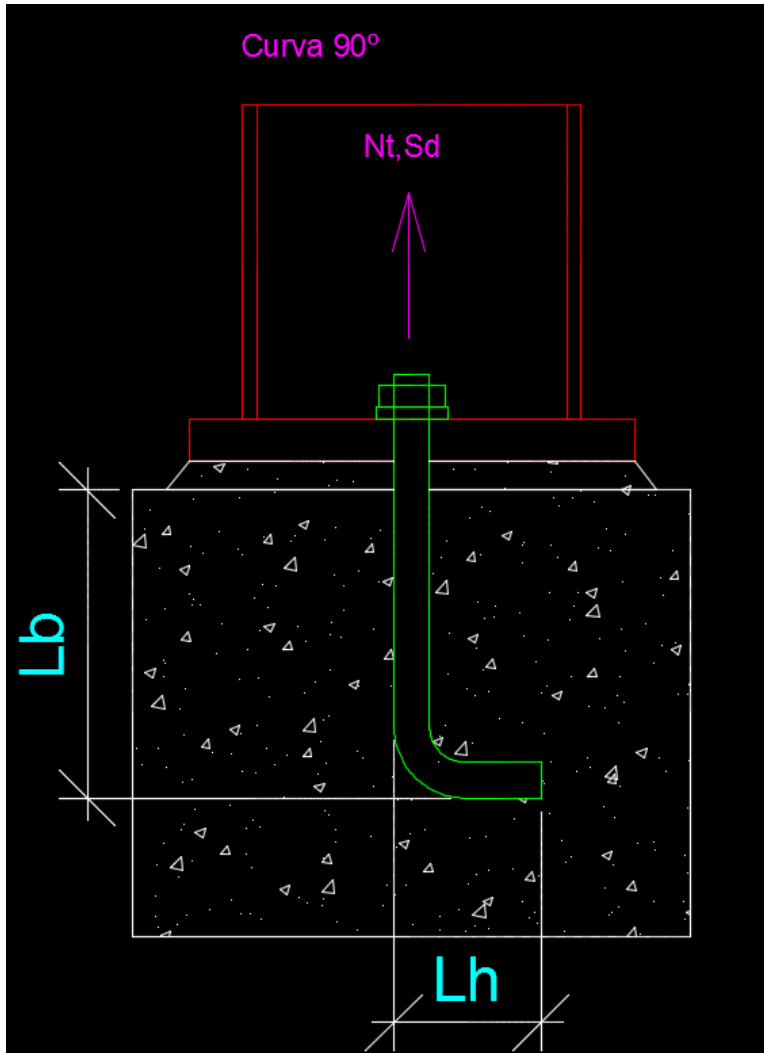
São 4 chumbadores sujeitos ao cisalhamento, portanto:

$$V_{sd} = \frac{39,3}{4} = 9,82 \text{ kN}$$

$$d_{chu} = \sqrt{1,27 \cdot \sqrt{\frac{11,39 \cdot V_{sd}^2 + 3,24 \cdot N_{sd}^2}{F_u^2}}} \rightarrow d_{chu} = \sqrt{1,27 \cdot \sqrt{\frac{11,39 \cdot 9,82^2 + 3,24 \cdot 85^2}{38,7^2}}} \rightarrow = 2,26\text{cm}$$

Adotar: D 1''(25,4mm)

Cálculo do Comprimento de ancoragem dos chumbadores

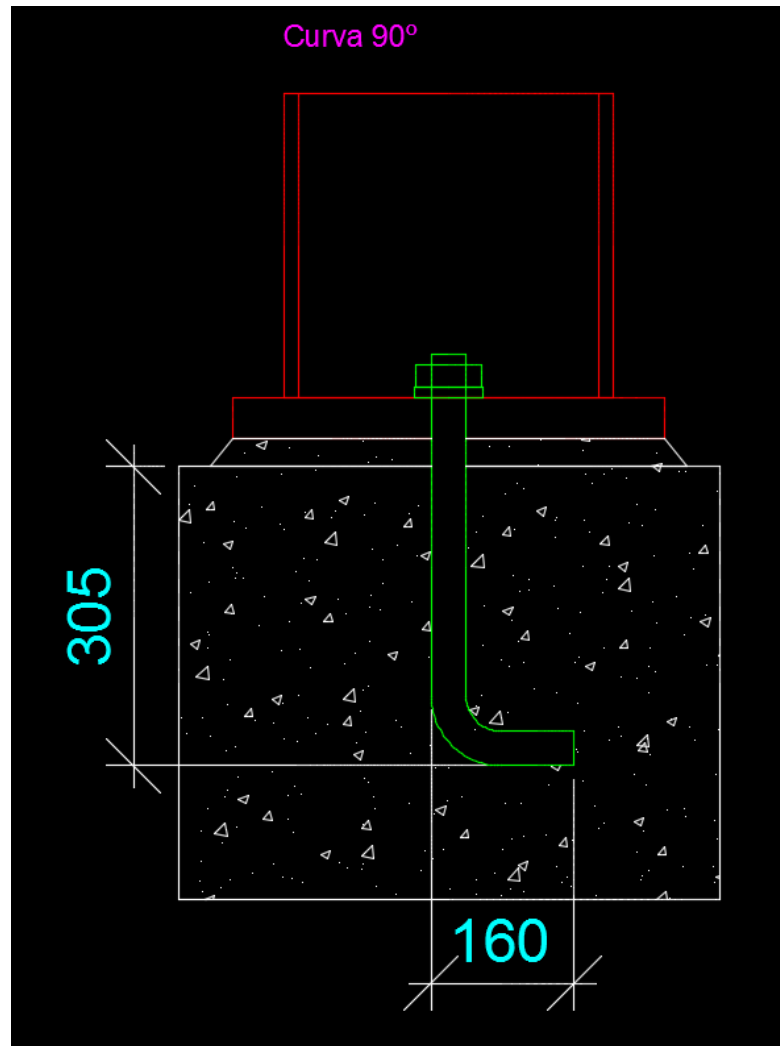


| Aço | L_b | Distância entre eixos |
|----------------------|-------|-----------------------|
| SAE 1020 ASTM A36 | 12d | 5d > 100mm |
| ASTM A325 | 17d | 7d > 100mm |

$$L_h = \frac{0,56 \cdot \pi \cdot d^2 \cdot 0,25 \cdot F_u}{2 \cdot 0,7 \cdot F_{ck} \cdot d}$$

$$L_h = \frac{0,3141 \cdot d \cdot F_u}{F_{ck}}$$

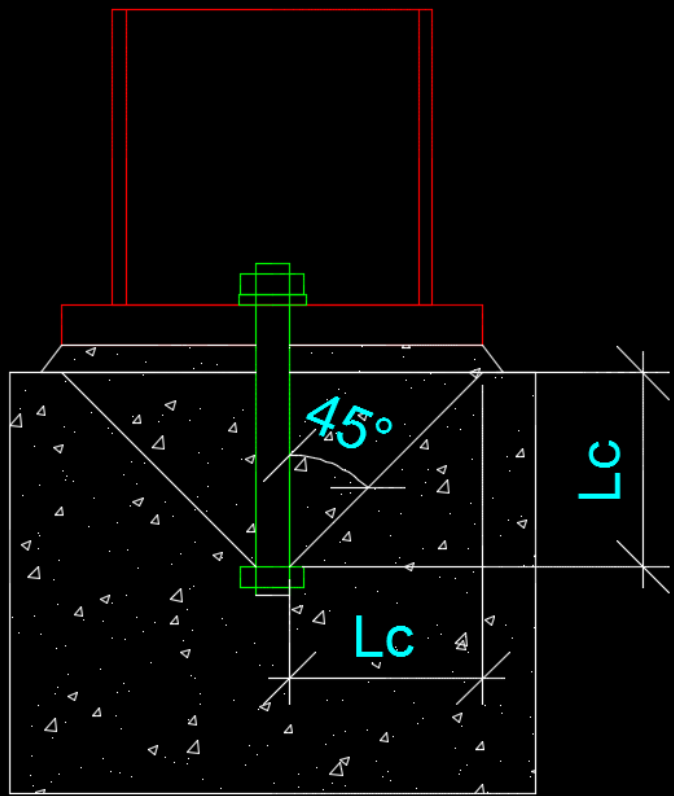
Cálculo do Comprimento de ancoragem dos chumbadores



Curso de Projeto e Cálculo de Estruturas metálicas

Cálculo do Comprimento de ancoragem dos chumbadores

Porca ou chapa

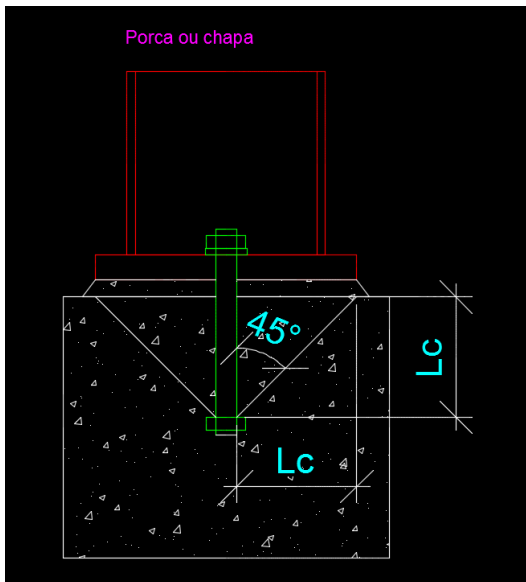


| Aço | Lb | Distância entre eixos |
|----------------------|-----|-----------------------|
| SAE 1020 ASTM A36 | 12d | 5d > 100mm |
| ASTM A325 | 17d | 7d > 100mm |

$$A_{cone} = \frac{N_{tSd}}{0,055 \cdot f_{ck}}$$

$$L_c = \sqrt{\frac{A_{cone}}{\pi}}$$

Cálculo do Comprimento de ancoragem dos chumbadores



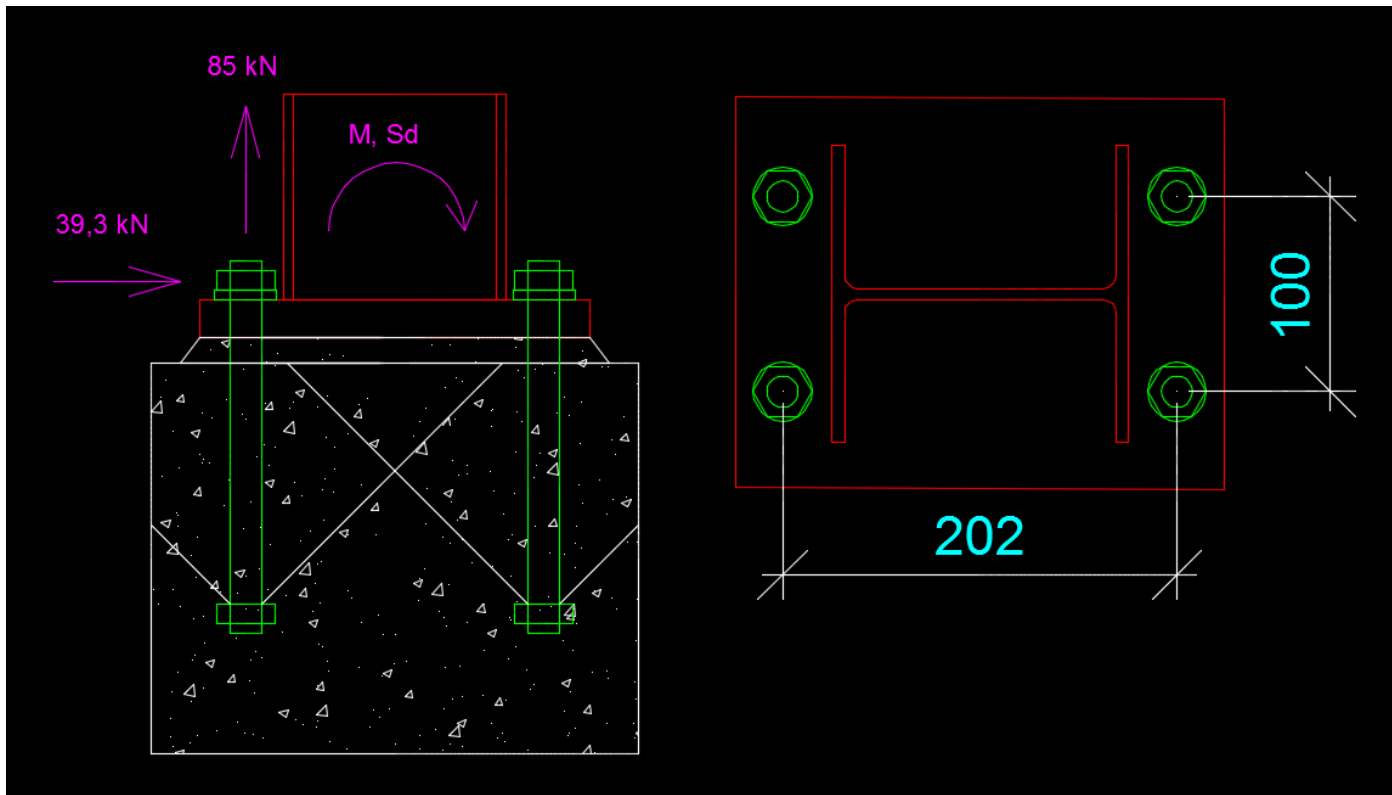
Exemplo 4: Dimensionar o comprimento dos chumbadores SAE 1020 necessários para a placa com Tração $N_{sd} = 84 \text{ kN}$, $V_{sd} = 54\text{kN}$, Concreto 20Mpa.

$$d_{chu} = \sqrt{1,27 \cdot \sqrt{\frac{11,39 \cdot V_{sd}^2 + 3,24 \cdot N_{sd}^2}{F_u^2}}}$$
$$d_{chu} = \sqrt{1,27 \cdot \sqrt{\frac{11,39 \cdot 54^2 + 3,24 \cdot 84^2}{38,7^2}}} = 27,87 \text{ mm} \approx 31,75\text{mm}$$

$$A_{cone} = \frac{N_{tSd}}{0,055 \cdot f_{ck}} \quad A_{cone} = \frac{84}{0,055 \cdot 2} = 764 \text{ cm}^2$$

$$L_c = \sqrt{\frac{A_{cone}}{\pi}} \quad L_c = \sqrt{\frac{764}{\pi}} = 15,59 \text{ cm} \quad \text{Porém: } 12 \cdot d = 381 \text{ mm Portanto } L_c = 381 \text{ mm}$$

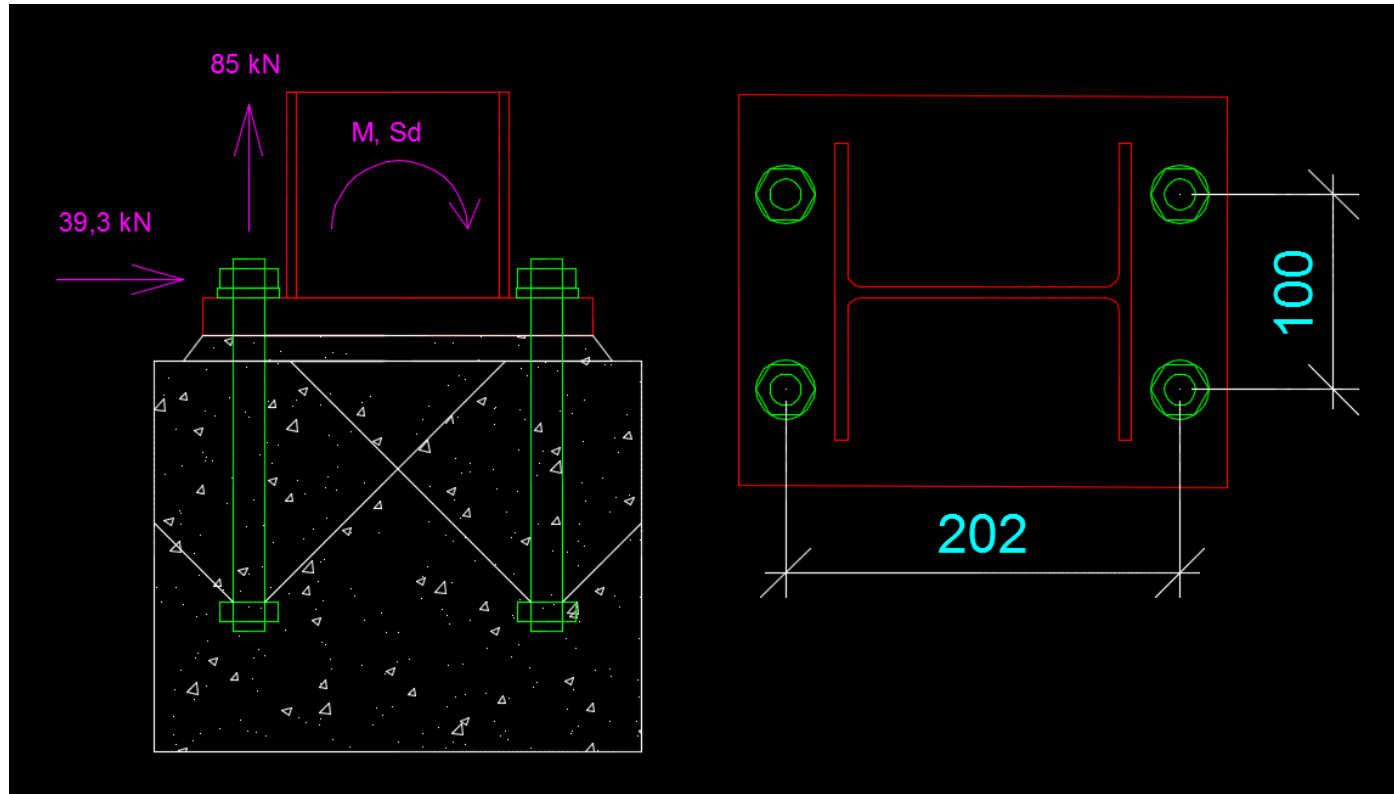
Cálculo do Comprimento de ancoragem dos chumbadores



$$A_{cone} = \pi \cdot L_c^2 - \frac{\left[\pi \cdot L_c^2 \cdot \cos^{-1} \left(\frac{X}{2L_c} \right) \right]}{180} + \frac{X}{2} \sqrt{L_c^2 - \frac{X^2}{4}} \quad X = \text{Distancia entre eixos}$$

Curso de Projeto e Cálculo de Estruturas metálicas

Cálculo do Comprimento de ancoragem dos chumbadores



Exemplo 4: Dimensionar o comprimento dos chumbadores SAE 1020 necessários, e o comprimento embutido dos chumbadores

Cálculo do Comprimento de ancoragem dos chumbadores

São 4 chumbadores sujeitos ao cisalhamento, portanto:

$$V_{sd} = \frac{39,3}{4} = 9,82 \text{ kN}$$

$$d_{chu} = \sqrt{1,27 \cdot \sqrt{\frac{11,39 \cdot V_{sd}^2 + 3,24 \cdot N_{sd}^2}{Fu^2}}} \rightarrow d_{chu} = \sqrt{1,27 \cdot \sqrt{\frac{11,39 \cdot 9,82^2 + 3,24 \cdot 85^2}{38,7^2}}} \rightarrow = 2,26 \text{ cm}$$

Adotado 1'': 25,4mm $L_c = 12 \cdot d = 12 \cdot 25,4 = 304,8 \text{ mm} \approx 305 \text{ mm}$

$$A_{cone} = \pi \cdot L_c^2 - \frac{\left[\pi \cdot L_c^2 \cdot \cos^{-1} \left(\frac{X}{2L_c} \right) \right]}{180} + \frac{X}{2} \sqrt{L_c^2 - \frac{X^2}{4}}$$

$$A_{cone} = \pi \cdot 30,5^2 - \frac{\left[\pi \cdot 30,5^2 \cdot \cos^{-1} \left(\frac{10}{2 \cdot 30,5} \right) \right]}{180} + \frac{10}{2} \sqrt{30,5^2 - \frac{10^2}{4}} = 1765 \text{ cm}^2$$

$$A_{cone} = \frac{N_{tSd}}{0,055 \cdot f_{ck}} \quad A_{cone} = \frac{85}{0,055 \cdot 2} = 773 \text{ cm}^2 < 1765 \text{ cm}^2 \text{ OK!}$$

Considerações sobre Chumbadores Químicos



Curso de Projeto e Cálculo de Estruturas metálicas

Considerações sobre Chumbadores Químicos

Têm suas características determinadas pelos fabricantes, obedecendo à norma NBR 15.049:2004 – Seus catálogos oferecem informações sobre aplicação, profundidade e distâncias mínimas a serem obedecidas

Considerações sobre Chumbadores Químicos

Tipo 1: Ampola Bi - Componente



Execute o furo na profundidade e diâmetro indicados em tabela



Limpe com ar



Depois com Escova



Introduza a Ampola com o lado arredondado para dentro



Introduza o prisioneiro com auxílio de uma furadeira



Aguarde o tempo de cura e instale a chapa, a porca e a arruela

Link do Vídeo https://youtu.be/Z_qkmCzGXxs

Curso de Projeto e Cálculo de Estruturas metálicas

Considerações sobre Chumbadores Químicos

DADOS TÉCNICOS PARA INSTALAÇÃO EM BASE MACIÇA

| CÓDIGO | 470270 | 470271 | 470272 | 470273 | 470274 | 470275 | 470276 |
|------------------------------------------------------|--------|--------|--------|--------|--------|--------|--------|
| AMPOLA WQA (MEDIDAS NOMINAIS) | 5/16" | 3/8" | 1/2" | 5/8" | 3/4" | 1" | 1 1/4" |
| PRISIONEIRO WQA (D - MEDIDA DA ROSCA UNC) | 5/16" | 3/8" | 1/2" | 5/8" | 3/4" | 1" | 1 1/4" |
| DIÂMETRO DO FURO (Do - mm) | 10 | 12 | 14 | 18 | 25 | 28 | 35 |
| PROFOUNDIDADE DO FURO (h ef - mm) | 80 | 90 | 110 | 125 | 170 | 210 | 280 |
| ESPESSURA MÍNIMA DO CONCRETO (h nom - mm) | 110 | 120 | 140 | 160 | 220 | 260 | 340 |
| DIÂMETRO DO FURO NO ELEMENTO A FIXAR (Df - mm) | 10 | 12 | 14 | 18 | 22 | 26 | 32 |
| TORQUE MÁXIMO (N x m) | 10 | 20 | 40 | 80 | 120 | 180 | 250 |
| CHAVE (pol) | 1/2" | 9/16" | 3/4" | 15/16" | 1 1/8" | 1 1/2" | 1 7/8" |
| DISTÂNCIA À BORDA DO CONCRETO PARA CARGA MÁXIMA (mm) | 120 | 90 | 110 | 125 | 170 | 210 | 280 |
| DISTÂNCIA ENTRE CHUMBADORES PARA CARGA MÁXIMA (mm) | 240 | 180 | 220 | 250 | 340 | 420 | 560 |
| DISTÂNCIA MÍNIMA À BORDA DO CONCRETO (C min - mm) | 40 | 45 | 55 | 65 | 85 | 105 | 140 |
| DISTÂNCIA MÍNIMA ENTRE CHUMBADORES (S min - mm) | 40 | 45 | 55 | 65 | 85 | 105 | 140 |
| CARGA DE TRAÇÃO RECOMENDADA (kN) | 8 | 12 | 16 | 20 | 30 | 36 | 60 |
| CARGA DE CISALHAMENTO RECOMENDADA - AÇO 5.8 (kN) | 5 | 8 | 12 | 22 | 35 | 50 | 60 |
| CARGA DE CISALHAMENTO COM DIST. MIN. DA BORDA (kN) | 1,3 | 1,7 | 2,5 | 3,3 | 6,1 | 9,1 | 15,9 |
| MOMENTO FLETOR RECOMENDADO - AÇO 5.8 (Nm) | 10 | 20 | 35 | 95 | 195 | 320 | 650 |

Esses dados são válidos para cada chumbador aplicado em distâncias normais da borda e entre si, em concreto não fissurado com resistência de 20 MPa.

Nas fixações em que a temperatura do material base variar entre 100 °C e 120 °C, as cargas deverão ser reduzidas em 30%. Para garantia das resistências apresentadas na tabela acima, deve-se sempre utilizar o sistema completo **Walsywa** com ampolas e prisioneiros WQA.

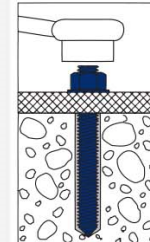
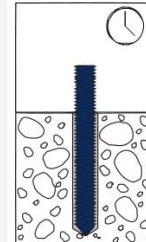
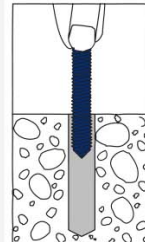
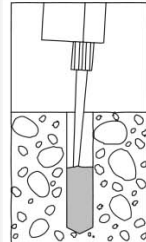
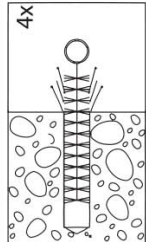
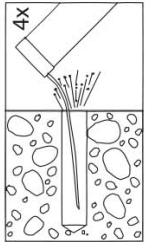
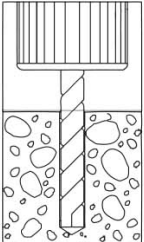
TEMPOS DE CURA

| | | | | |
|-----------------------------------|--------|--------|---------|--------|
| TEMPERATURA DO MATERIAL BASE (°C) | -5 < 0 | 0 < 10 | 10 < 20 | >20 |
| BASE SECA | 5 h | 1 h | 30 min | 20 min |
| BASE ÚMIDA | 10 h | 2 h | 1 h | 40 min |

Considerações sobre Chumbadores Químicos

Tipo 2: Fixação por injeção

MÉTODOS DE APLICAÇÃO EM CONCRETO E ALVENARIA MACIÇA



1 Faça o furo com diâmetro e profundidade indicados;

2 Injeite ar para retirar o excesso de pó do furo;

3 Limpe totalmente o furo com auxílio de uma escova;

4 Introduza o bico misturador no furo e preencha 3/4 do total com a resina;

5 Introduza o prisioneiro com um movimento giratório;

6 Aguarde o tempo de cura recomendado em tabela;

7 Após a cura, posicione o elemento a fixar e dê o torque.



Curso de Projeto e Cálculo de Estruturas metálicas

Considerações sobre Chumbadores Químicos

Tipo 2: Fixação por injeção

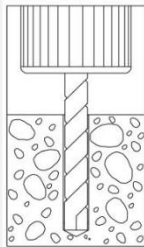
| DIÂMETRO DA BARRA ROSCADA | FURO (mm) | | CARGAS DE TRAÇÃO (CONCRETO 28 MPa) CARGA DE RUPTURA (kgf) | APLICAÇÕES POR EMB. 400 ml |
|---------------------------|-----------|-------------|--------------------------------------------------------------|-------------------------------|
| | DIÂMETRO | PROFOUNDADE | | |
| 5/16" | 10 | 80 | 2338 | 83 |
| 3/8" | 12 | 90 | 3133 | 51 |
| 1/2" | 14 | 110 | 4495 | 36 |
| 5/8" | 18 | 125 | 6595 | 18 |
| 3/4" | 24 | 170 | 11958 | 7 |
| 1" | 28 | 210 | 17352 | 5 |

| TEMPERATURA | TEMPO PARA APLICAÇÃO | TEMPO FINAL DE CURA |
|-------------|-------------------------|------------------------|
| 0 - 5 °C | 4 h | 30 h |
| 5 - 10 °C | 2 h | 15 h |
| 10 - 20 °C | 60 min. | 12 h |
| 20 - 30 °C | 30 min. | 4 h |
| 30 - 40 °C | 15 min. | 3 h |

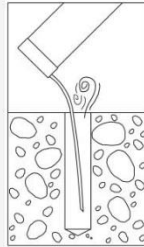
Curso de Projeto e Cálculo de Estruturas metálicas

Considerações sobre Chumbadores Mecânicos

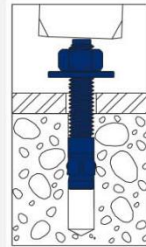
INSTRUÇÕES DE APLICAÇÃO



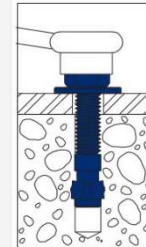
1 Faça o furo com diâmetro e profundidade indicados;



2 Limpe o furo totalmente com auxílio de um soprador;



3 Introduza o chumbador no furo através da peça a ser fixada com auxílio de um martelo;



4 Dê o torque.

Considerações sobre Chumbadores Mecânicos

| CÓDIGO* | Descrição | Ø NOMINAL | | COMPR. CHUMBADOR | | PROFOUNDIDADE MINIMA DO FURTO | ESPESURA MÁX. A SER PREDIA | ALTURA DE PORCA + ANELA | CARGAS MÉDIAS ^a (kg) | | DISPONÍVEL EM |
|---------|-----------|-----------|--------|------------------|-----|-------------------------------|----------------------------|-------------------------|---------------------------------|--------|------------------------|
| | | ØA | | b | c | | | | d | e | |
| | | pol. | pol. | mm | mm | | | | mm | mm | |
| 470424 | WB 14134 | | 1 3/4" | 44,4 | 19 | | 6 | | | | Aço Carbono e Aço Inox |
| 470425 | WB 14214 | 1/4" | 2 1/4" | 57,1 | 30 | 35 | 19 | 6,3 | 825 | 744 | Aço Carbono e Aço Inox |
| 470426 | WB 14314 | | 3 1/4" | 82,5 | 55 | | 44 | | | | Aço Carbono e Aço Inox |
| 470427 | WB 56200 | | 2" | 50,8 | 20 | | 6 | | | | Aço Carbono e Aço Inox |
| 470450 | WB 56234 | 5/16" | 2 3/4" | 69,8 | 35 | 40 | 25 | 8 | 1 400 | 1 310 | Aço Carbono |
| 470428 | WB 56314 | | 3 1/4" | 82,5 | 42 | | 33 | | | | Aço Carbono |
| 470429 | WB 56414 | | 4 1/4" | 107,9 | 67 | | 60 | | | | Aço Carbono e Aço Inox |
| 470430 | WB 38214 | | 2 1/4" | 57,1 | 22 | | 6 | | | | Aço Carbono e Aço Inox |
| 470481 | WB 38234 | | 2 3/4" | 69,8 | 35 | | 19 | | | | Aço Carbono |
| 470431 | WB 38300 | | 3" | 76,2 | 41 | | 25 | | | | Aço Carbono e Aço Inox |
| 470482 | WB 38312 | 3/8" | 3 1/2" | 88,9 | 51 | 45 | 37 | 10 | 1 919 | 1 695 | Aço Carbono e Aço Inox |
| 470432 | WB 38334 | | 3 3/4" | 95,2 | 60 | | 44 | | | | Aço Carbono e Aço Inox |
| 470483 | WB 38500 | | 5" | 127 | 92 | | 75 | | | | Aço Carbono |
| 470335 | WB 38700 | | 7" | 117,8 | 75 | | 100 | | | | Aço Inox |
| 470433 | WB 12234 | | 2 3/4" | 69,8 | 25 | | 6 | | | | Aço Carbono e Aço Inox |
| 470330 | WB 12312 | | 3 1/2" | 88,9 | 43 | | 10 | | | | Aço Inox |
| 470484 | WB 12334 | | 3 3/4" | 95,2 | 50 | | 32 | | | | Aço Carbono e Aço Inox |
| 470434 | WB 12400 | | 4" | 101,6 | 57 | | 38 | | | | Aço Carbono e Aço Inox |
| 470485 | WB 12414 | 1/2" | 4 1/4" | 107,9 | 63 | 55 | 40 | 13,4 | 3 193 | 3 346 | Aço Carbono e Aço Inox |
| 470444 | WB 12412 | | 4 1/2" | 114,3 | 70 | | 44 | | | | Aço Carbono |
| 470435 | WB 12514 | | 5 1/4" | 133,4 | 70 | | 75 | | | | Aço Carbono e Aço Inox |
| 470486 | WB 12512 | | 5 1/2" | 139,7 | 95 | | 83 | | | | Aço Carbono e Aço Inox |
| 470487 | WB 12700 | | 7" | 177,8 | 100 | | 114 | | | | Aço Carbono |
| 470451 | WB 12812 | | 8 1/2" | 215,9 | 100 | | 150 | | | | Aço Carbono |
| 470436 | WB 58312 | | 3 1/2" | 88,9 | 45 | | 12 | | | | Aço Carbono e Aço Inox |
| 470488 | WB 58412 | | 4 1/2" | 114,3 | 60 | | 37 | | | | Aço Carbono e Aço Inox |
| 470437 | WB 58500 | | 5" | 127 | 60 | | 37 | | | | Aço Carbono e Aço Inox |
| 470489 | WB 58600 | 5/8" | 6" | 152,4 | 100 | 65 | 75 | 17 | 4 026 | 5 494 | Aço Carbono |
| 470438 | WB 58700 | | 7" | 177,8 | 100 | | 75 | | | | Aço Carbono e Aço Inox |
| 470445 | WB 58800 | | 8" | 203,2 | 100 | | 125 | | | | Aço Carbono |
| 470453 | WB 58812 | | 8 1/2" | 215,9 | 100 | | 140 | | | | Aço Carbono |
| 470454 | WB 58100 | | 10" | 254 | 100 | | 178 | | | | Aço Carbono |
| 470439 | WB 34414 | 3/4" | 4 1/4" | 107,9 | 55 | 85 | 6 | | | | Aço Carbono e Aço Inox |
| 470446 | WB 34434 | | 4 3/4" | 120,7 | 65 | | 19 | | | | Aço Carbono e Aço Inox |
| 470490 | WB 34512 | | 5 1/2" | 139,7 | 65 | | 44 | | | | Aço Carbono e Aço Inox |
| 470440 | WB 34614 | | 6 1/4" | 158,8 | 80 | | 57 | 20 | 7 708 | 9 691 | Aço Carbono e Aço Inox |
| 470491 | WB 34700 | | 7" | 177,8 | 100 | | 70 | | | | Aço Carbono |
| 470441 | WB 34812 | | 8 1/2" | 215,9 | 100 | | 120 | | | | Aço Carbono e Aço Inox |
| 470447 | WB 34100 | | 10" | 254 | 100 | | 156 | | | | Aço Carbono |
| 470457 | WB 34120 | | 12" | 304,8 | 100 | | 200 | | | | Aço Carbono |
| 470442 | WB 78800 | | 8" | 203,2 | 82 | | 120 | | | | Aço Carbono |
| 470448 | WB 78900 | 7/8" | 9" | 228,6 | 143 | 95 | 125 | 22 | 9 100 | 10 050 | Aço Carbono |
| 470449 | WB 78100 | | 10" | 254 | 143 | | 137 | | | | Aço Carbono |
| 470443 | WB 10900 | | 9" | 228,6 | 157 | 115 | 98 | 25 | 11 230 | 10 214 | Aço Carbono |
| 470492 | WB 10120 | 1" | 12" | 304,8 | 157 | | 175 | | | | Aço Carbono |

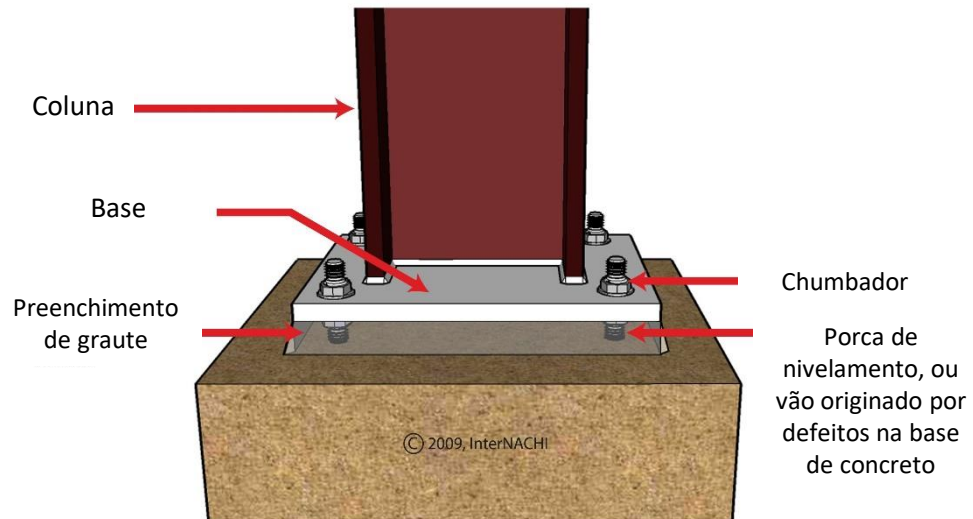
* Carga última obtida em concreto de 30 MPa. Testes realizados no Laboratório Walsywa. ** Os códigos referem-se aos produtos em Aço Carbono.

Curso de Projeto e Cálculo de Estruturas metálicas

Considerações sobre Graute



Preenchimento de frestas por graute



5. Propriedades e características:

| | |
|-----------------------------------------------------|--------------------------|
| Massa unitária | 2,200 kg/dm ³ |
| Resistência à compressão às 24 horas (NBR 5.739/07) | 25 MPa |
| Resistência à compressão aos 3 dias (NBR 5.739/07) | 35 MPa |
| Resistência à compressão aos 28 dias (NBR 5.739/07) | 50 MPa |
| Tempo em aberto para lançamento a 25 °C | 30 minutos |
| Teor de cloretos | Isento |

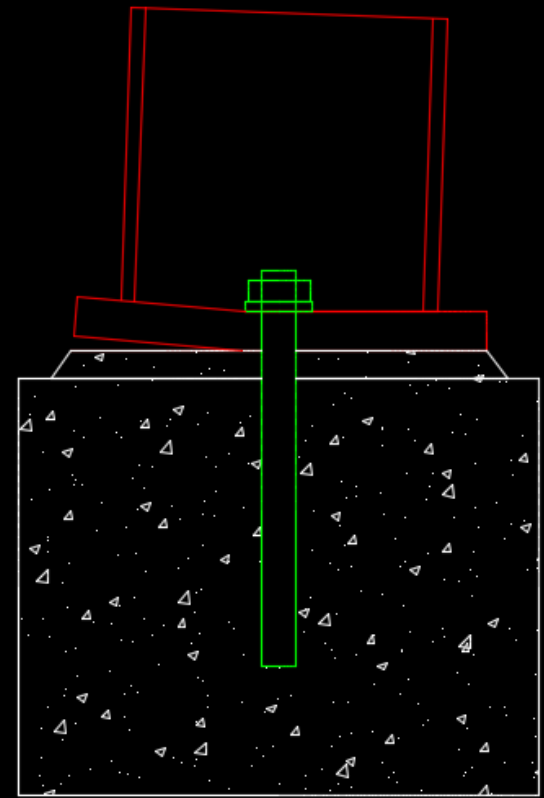
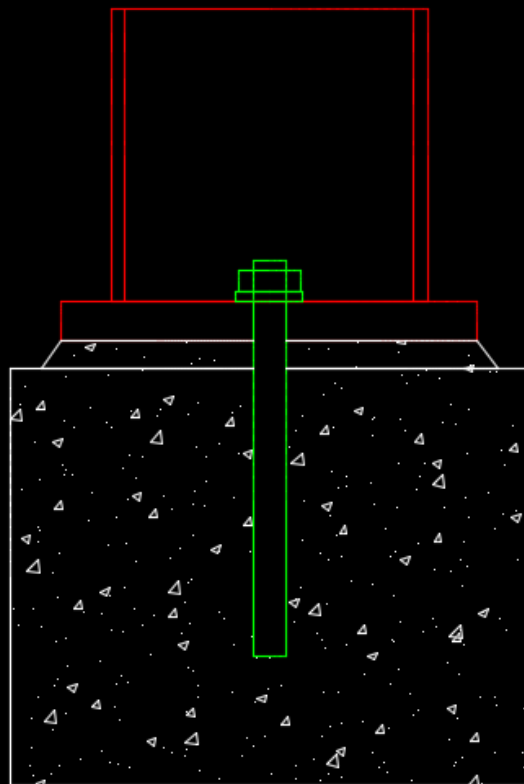
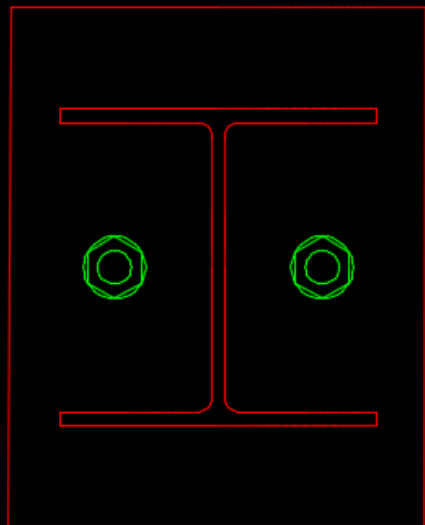


PARTE 3

CÁLCULO DE PLACAS DE BASE

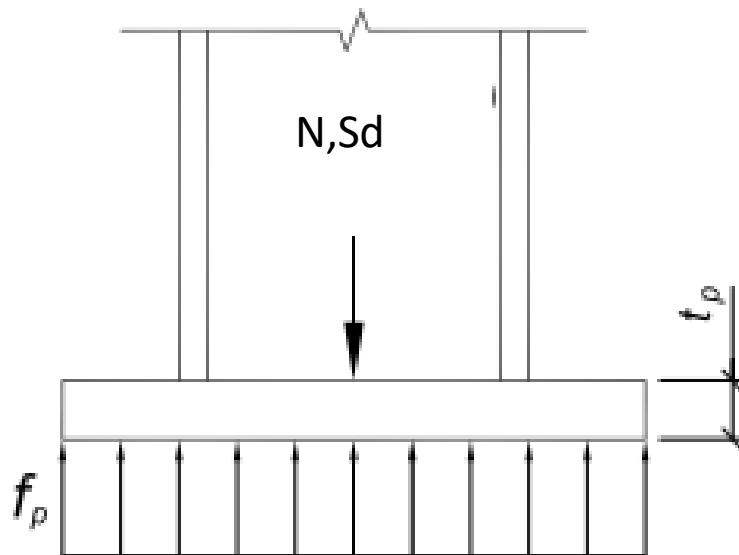
Curso de Projeto e Cálculo de Estruturas metálicas

Bases articuladas



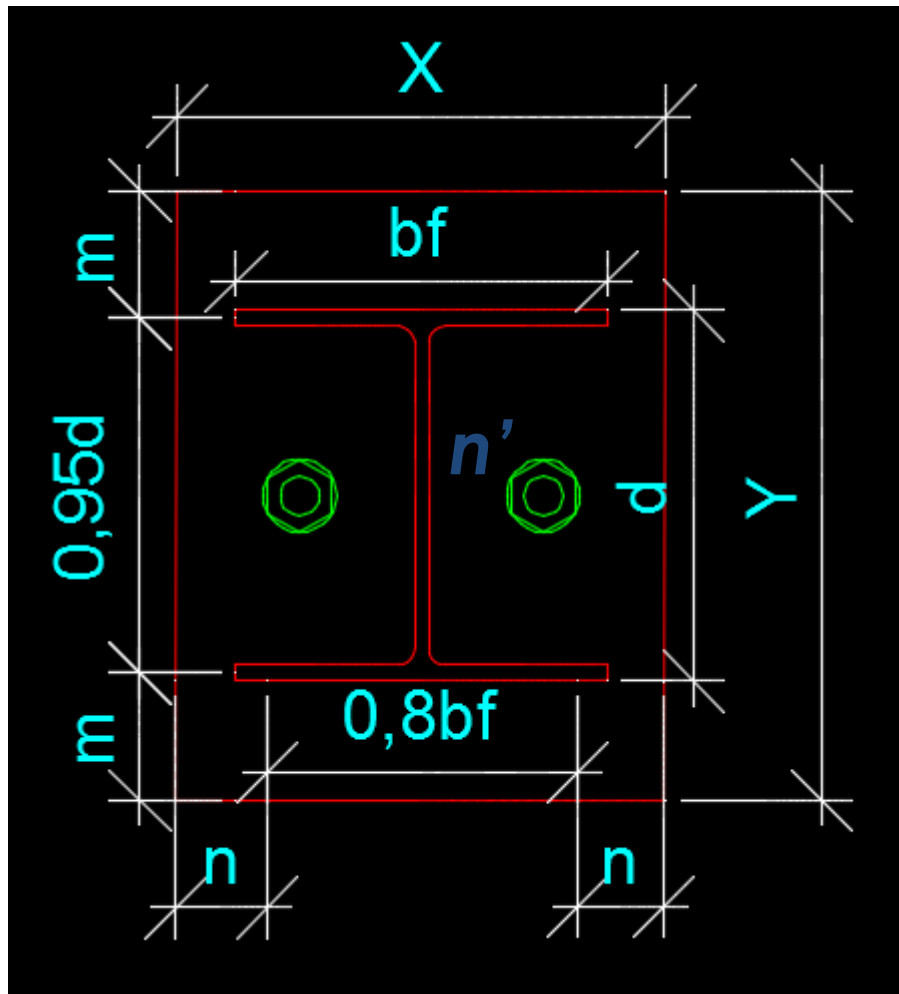
Curso de Projeto e Cálculo de Estruturas metálicas

Projeto de bases para cargas axiais de compressão concêntrica em Perfis I e H



Quando há somente cargas axiais, a chapa deve ter área suficiente para proteger o concreto, e ter espessura suficiente para não deformar permanentemente

Projeto de bases para cargas axiais de compressão concêntrica em Perfis I e H



$$\sigma_c = \frac{N_{Sd}}{X \cdot Y}$$

$$n' = \sqrt{\frac{d \cdot bf}{4}}$$

$$m = \frac{Y - 0,95d}{2}$$

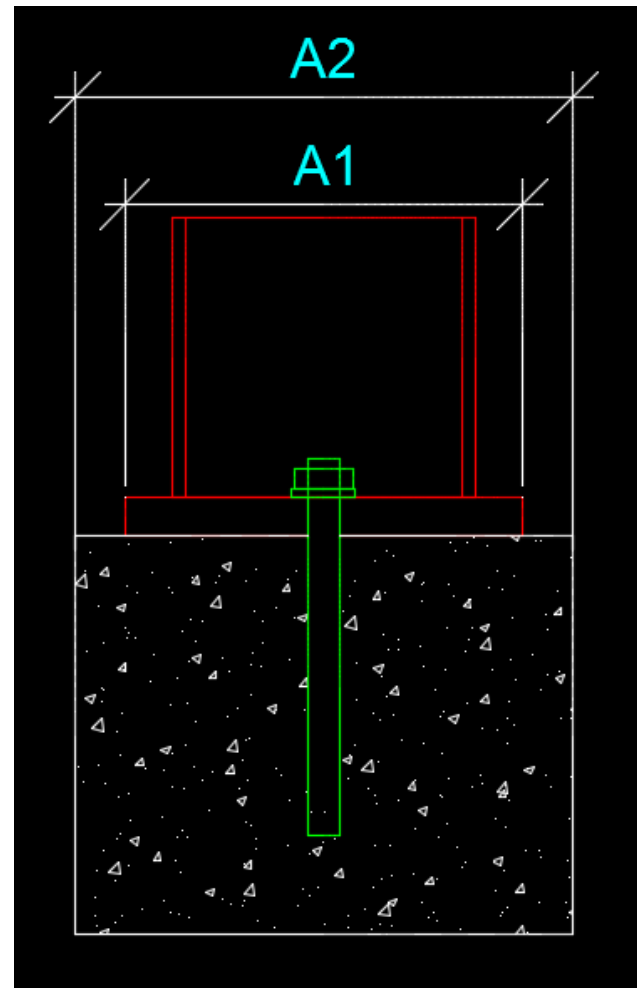
$$n = \frac{X - 0,8bf}{2}$$

Projeto de bases para cargas axiais de compressão concêntrica em Perfis I e H

$$\sigma_{c,Rd} = \frac{f_{ck}}{1,4 \cdot 1,4} \cdot \sqrt{\frac{A_2}{A_1}} \rightarrow 0,51 \cdot f_{ck} \cdot \sqrt{\frac{A_2}{A_1}}$$

$$\sigma_{c,Rd} \leq f_{ck}$$

$$t = 1,49 \cdot l \cdot \sqrt{\frac{\sigma_c}{F_y}}$$



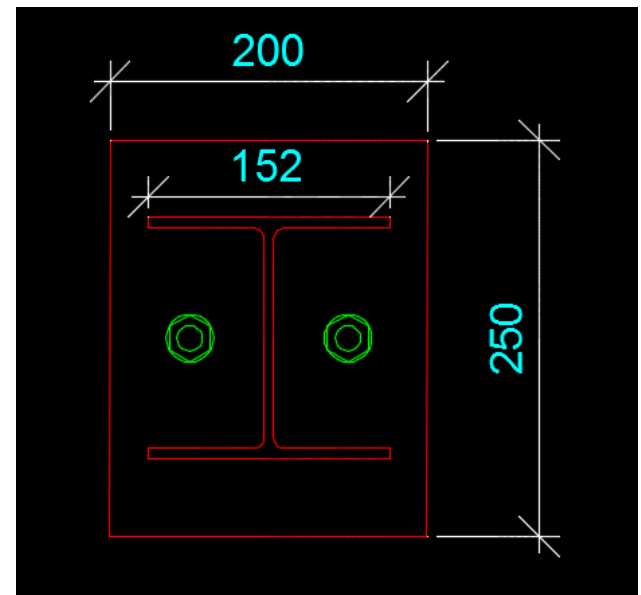
Projeto de bases para cargas axiais de compressão concêntrica em Perfis I e H

Exemplo 5: Dimensionar a espessura da chapa A36 de base, apoiada sobre um bloco de 500mm x 500mm de concreto $f_{ck}=25\text{Mpa}$, para um pilar W150X22,5(H) e sujeita a uma carga de compressão axial de 125kN

$$n' = \sqrt{\frac{d \cdot b f}{4}} \rightarrow n' = \sqrt{\frac{15,2 \cdot 15,2}{4}} = 7,6\text{cm}$$

$$m = \frac{Y - 0,95d}{2} \quad m = \frac{25 - 0,95 \cdot 15,2}{2} = 5,28\text{cm}$$

$$n = \frac{X - 0,8bf}{2} \quad n = \frac{20 - 0,8 \cdot 15,2}{2} = 3,92\text{cm}$$



Projeto de bases para cargas axiais de compressão concêntrica em Perfis I e H

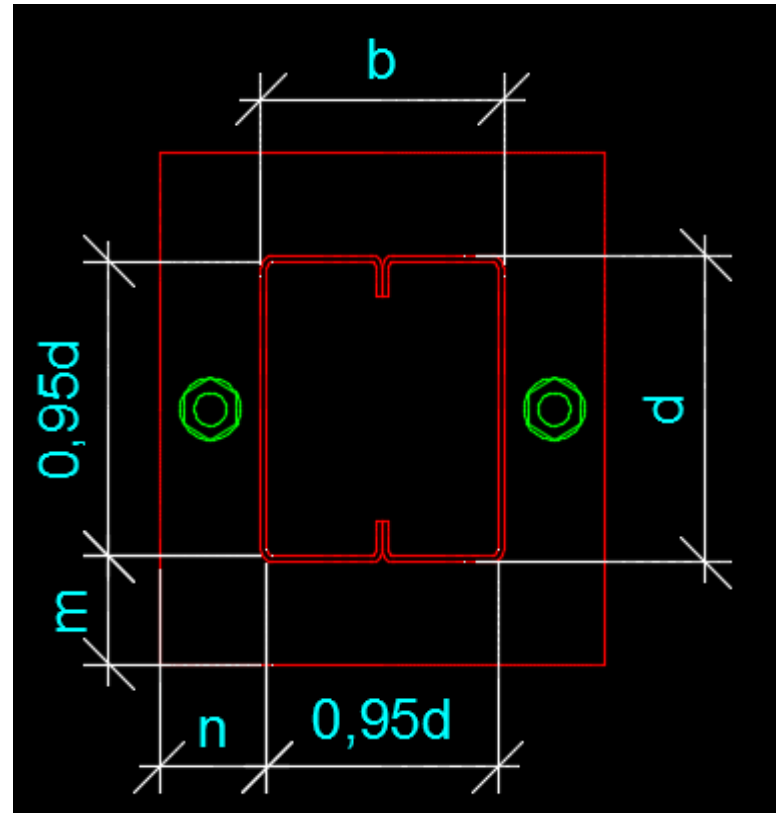
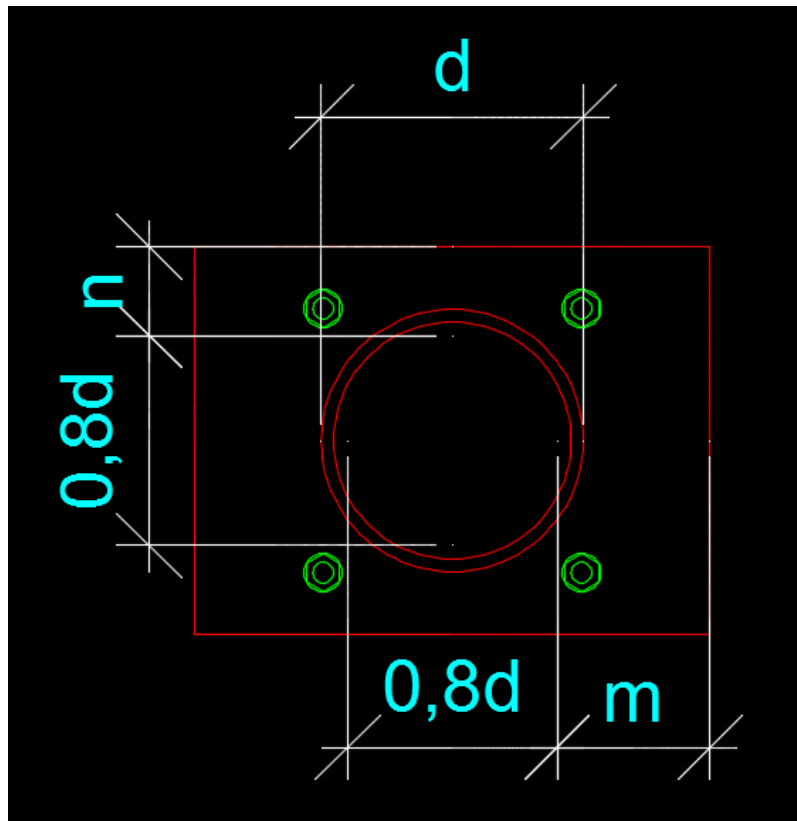
$$\sigma_c = \frac{N_{Sd}}{X \cdot Y} \quad \sigma_c = \frac{125}{20 \cdot 25} = 0,25 \text{ kN/cm}^2$$

$$\sigma_{c,Rd} = 0,51 \cdot f_{ck} \cdot \sqrt{\frac{A_2}{A_1}}$$

$$\sigma_{c,Rd} = 0,51 \cdot 2,5 \cdot \sqrt{\frac{50 \cdot 50}{20 \cdot 25}} = 2,85 \frac{\text{kN}}{\text{cm}^2}, \text{ Porém } \sigma_c \leq f_{ck} = 2,5 \text{ kN/cm}^2$$

$$t = 1,49 \cdot l \cdot \sqrt{\frac{\sigma_c}{F_y}} \quad t = 1,49 \cdot 7,6 \cdot \sqrt{\frac{0,25}{25}} = 1,13 \text{ cm} \approx 1/2''(12,7 \text{ mm})$$

Projeto de bases para cargas axiais de compressão concêntrica em perfis tubulares



Projeto de bases para cargas axiais tubulares

Exemplo 6: Dimensionar a placa de base e os chumbadores, para concreto fck 25MPa.

Cortante na ligação: 45 kN

Compressão: 99 kN

Chapa A36, Chumbador SAE 1020

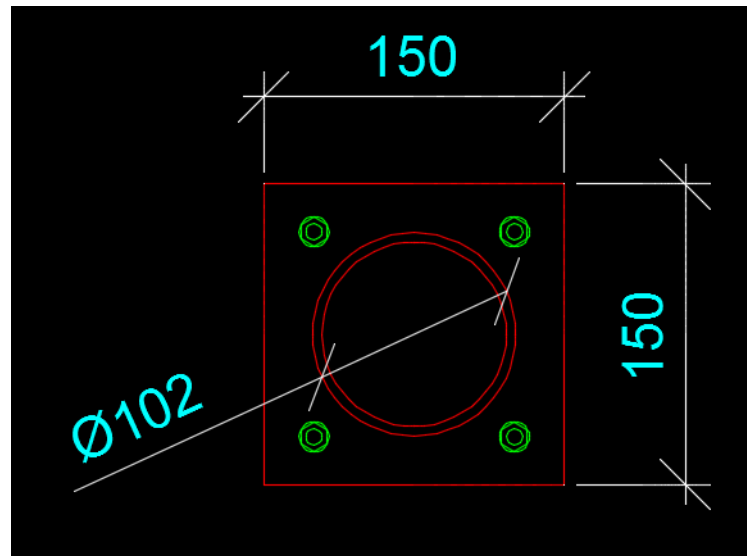
Largura da Base: 200mm x 200mm

Temos 4 chumbadores, portanto:

$$V_{sd} = \frac{45}{4} = 11,25 \text{ kN}$$

$$d_{chu} = 2,07 \sqrt{\frac{V_{sd}}{F_u}}$$

$$d_{chu} = 2,07 \sqrt{\frac{11,25}{38,7}} = 1,11\text{cm} \approx 12,7\text{mm} \left(\frac{1}{2}''\right)$$



Profundidade: $12d = 12 \cdot 1,27 = 15,24\text{cm}$

Projeto de bases para cargas axiais tubulares

$$\sigma_c = \frac{N_{Sd}}{X \cdot Y}$$

$$\sigma_c = \frac{99}{15 \cdot 15} = 0,44 kN/cm^2$$

$$\sigma_{c,Rd} = \frac{f_{ck}}{1,4 \cdot 1,4} \cdot \sqrt{\frac{A_2}{A_1}} \rightarrow 0,51 \cdot f_{ck} \cdot \sqrt{\frac{A_2}{A_1}} \quad \sigma_{c,Rd} = 0,51 \cdot 2,5 \cdot \sqrt{\frac{20,20}{15 \cdot 15}} = 1,7 kN/cm^2 OK!$$

$$m = n = \frac{15 - 0,80 \cdot 10,2}{2} \rightarrow 3,42 cm$$

$$t = 1,49 \cdot l \cdot \sqrt{\frac{\sigma_c}{F_y}}$$

$$t = 1,49 \cdot 3,42 \cdot \sqrt{\frac{0,44}{25}} = 6,76 mm \approx 8 mm$$

Projeto de bases para cargas axiais tubulares

Exemplo 6: Dimensionar a placa de base e os chumbadores, para concreto fck 20MPa.

Cortante na ligação: 55 kN

Compressão: 140 kN

Chapa A36, Chumbador A36

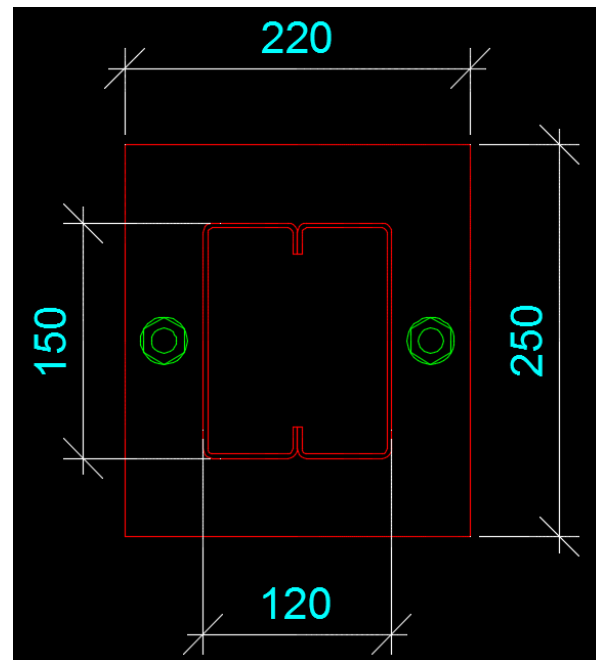
Largura da Base: 300mm x 300mm

Temos 2 chumbadores, portanto:

$$V_{sd} = \frac{55}{2} = 27,5 \text{ kN}$$

$$d_{chu} = 2,07 \sqrt{\frac{V_{sd}}{F_u}}$$

$$d_{chu} = 2,07 \sqrt{\frac{27,5}{40}} = 1,71\text{cm} \approx 19\text{mm} \left(\frac{3}{4}\right)$$



Profundidade: $12d = 12 \cdot 1,9 = 22,8\text{cm}$

Projeto de bases para cargas axiais tubulares

$$\sigma_c = \frac{N_{Sd}}{X \cdot Y}$$

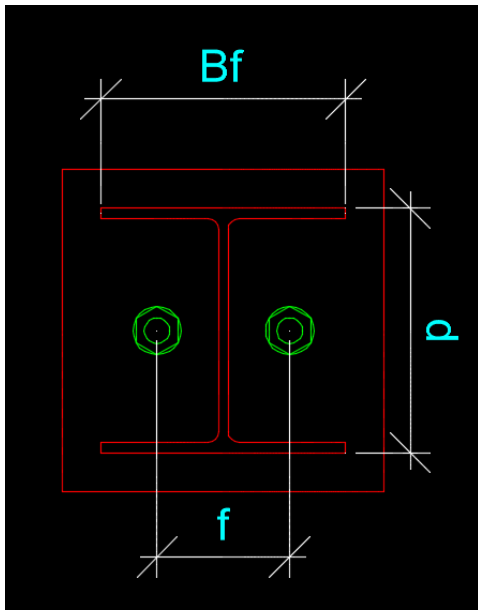
$$\sigma_c = \frac{140}{22.25} = 0,25kN/cm^2$$

$$\sigma_{c,Rd} = \frac{f_{ck}}{1,4 \cdot 1,4} \cdot \sqrt{\frac{A_2}{A_1}} \rightarrow 0,51 \cdot f_{ck} \cdot \sqrt{\frac{A_2}{A_1}} \quad \sigma_{c,Rd} = 0,51 \cdot 2,0 \cdot \sqrt{\frac{30 \cdot 30}{22.25}} = 1,3kN/cm^2 OK!$$

$$m = \frac{25 - 0,95 \cdot 15}{2} \rightarrow 5,37cm \quad n = \frac{22 - 0,95 \cdot 12}{2} \rightarrow 5,30cm$$

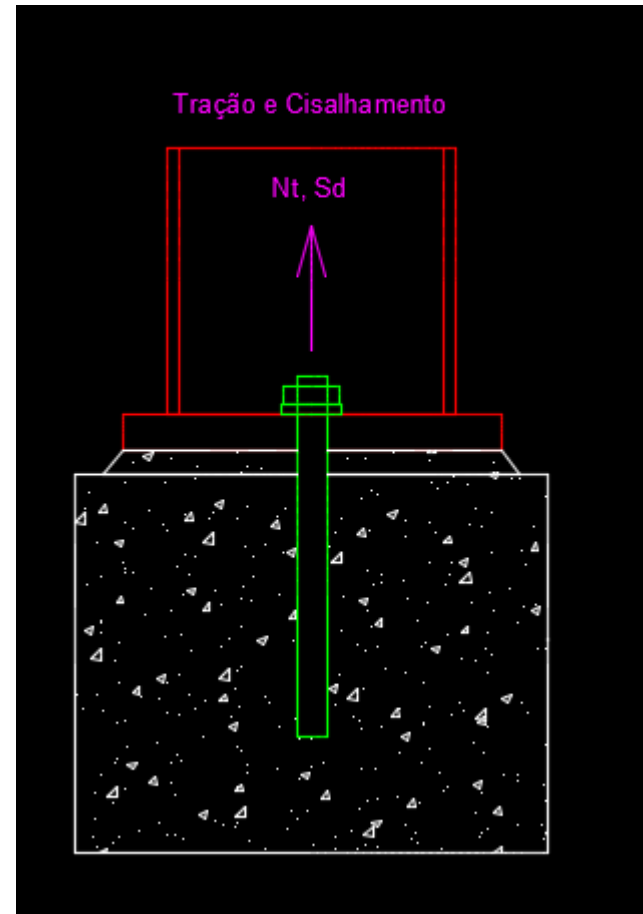
$$t = 1,49 \cdot l \cdot \sqrt{\frac{\sigma_c}{F_y}} \quad t = 1,49 \cdot 5,37 \cdot \sqrt{\frac{0,25}{25}} = 8,00mm$$

Projeto de bases para tração



$$\text{para } d \geq 1,42B_f: t = 0,63 \cdot \sqrt{\frac{N_{Sd} \cdot f}{B_f \cdot F_y}}$$

$$\text{para } d < 1,42B_f: t = 1,05 \cdot \sqrt{\frac{N_{Sd} \cdot f \cdot d}{F_y(d^2 + 2 \cdot B_f^2)}}$$



Projeto de bases para tração

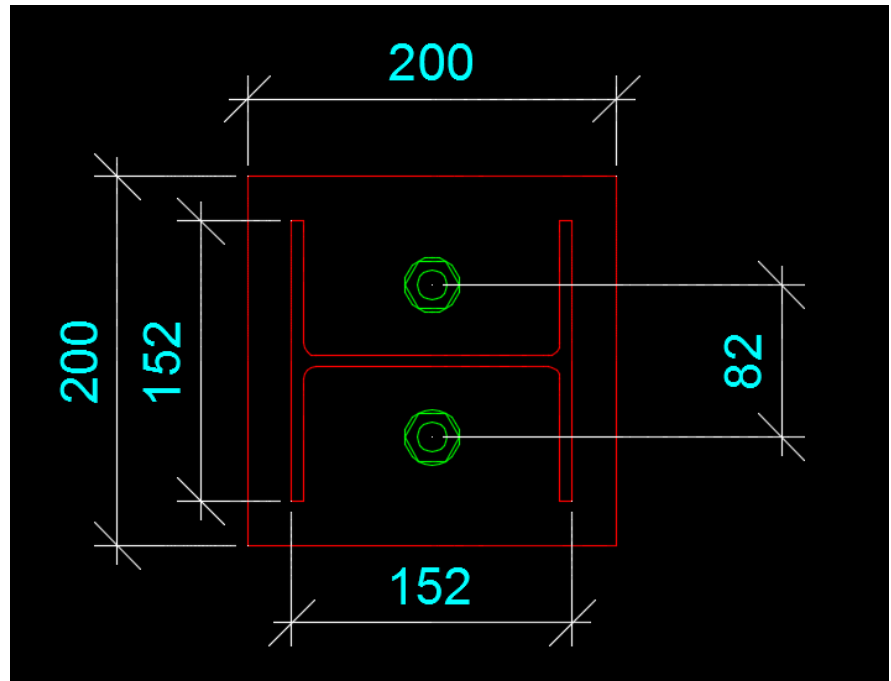
Exemplo 6: Dimensionar a placa de base e os chumbadores, para concreto fck 20MPa.

Cortante na ligação: 85 kN

Tração: 125 kN

Chapa A36, SAE1020

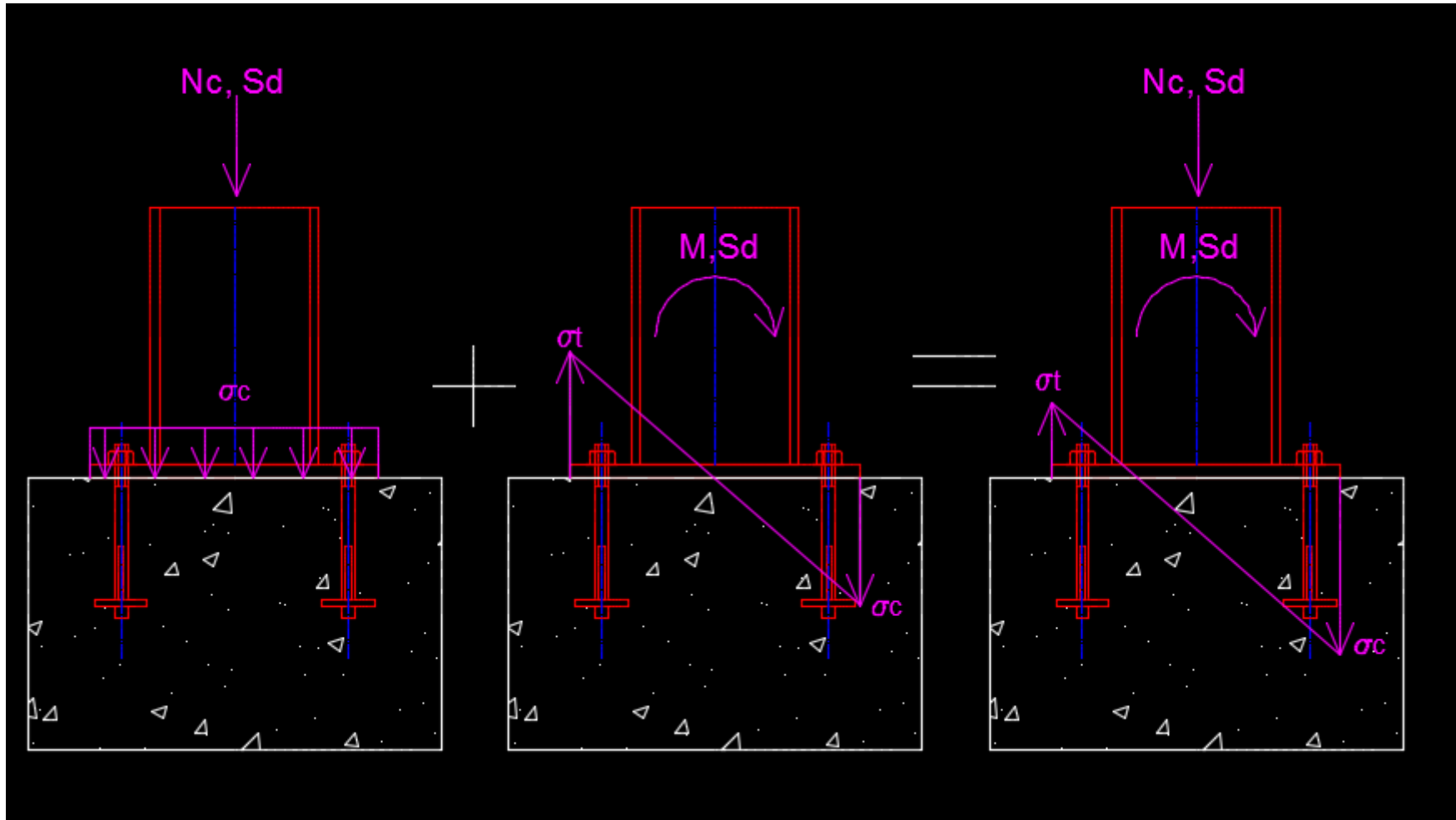
$$1,42B_f = 15,2 \cdot 1,42 = 21,6\text{cm} > d = 15,2\text{cm}$$



$$\text{para } d < 1,42B_f: t = 1,05 \cdot \sqrt{\frac{N_{sd} \cdot f \cdot d}{F_y(d^2 + 2 \cdot B_f^2)}}$$

$$t = 1,05 \cdot \sqrt{\frac{125 \cdot 8,2 \cdot 15,2}{25(15,2^2 + 2 \cdot 15,2^2)}} = 9,95\text{mm} \approx 3/8$$

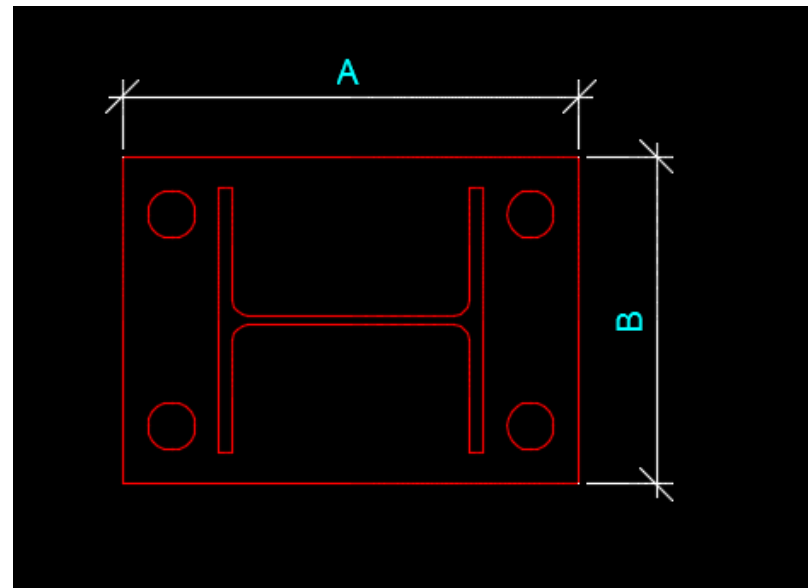
Bases engastadas a Momento Fletor e compressão



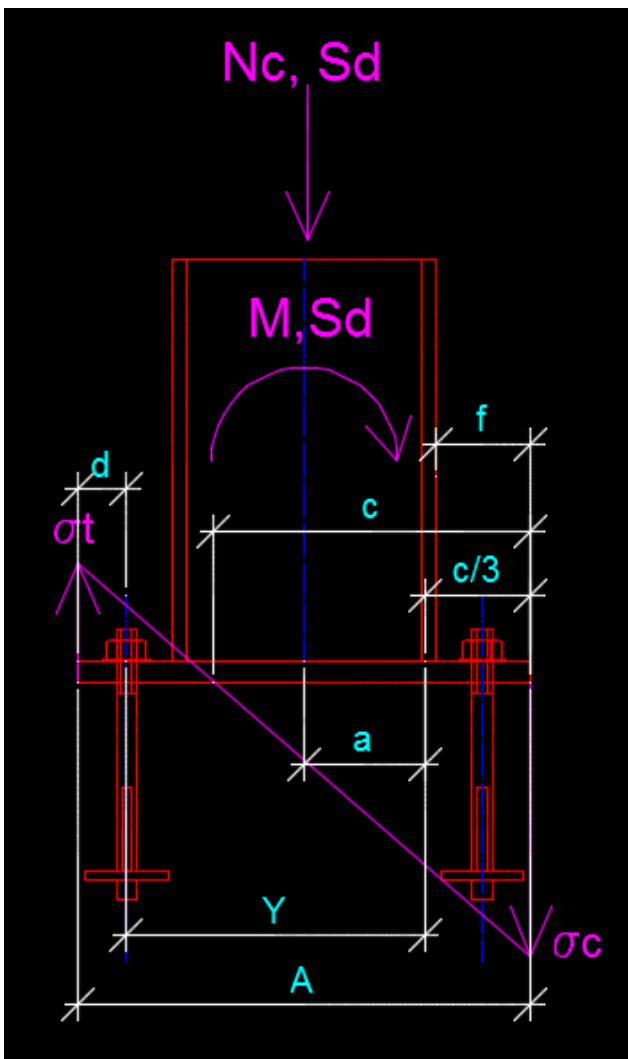
Bases engastadas a Momento Fletor e compressão

$$\sigma_c = \frac{N_{Sd}}{A \cdot B} + \frac{M_{Sd}}{W} \rightarrow \frac{N_{Sd}}{A \cdot B} + \frac{6 \cdot M_{Sd}}{B \cdot A^2}$$

$$\sigma_t = \frac{N_{Sd}}{A \cdot B} - \frac{M_{Sd}}{W} \rightarrow \frac{N_{Sd}}{A \cdot B} - \frac{6 \cdot M_{Sd}}{B \cdot A^2}$$



Bases engastadas a Momento Fletor e compressão



$$c = \frac{\sigma_c \cdot A}{\sigma_c + \sigma_t} \quad a = \frac{A}{2} - \frac{c}{3} \quad Y = A - d - \frac{c}{3}$$

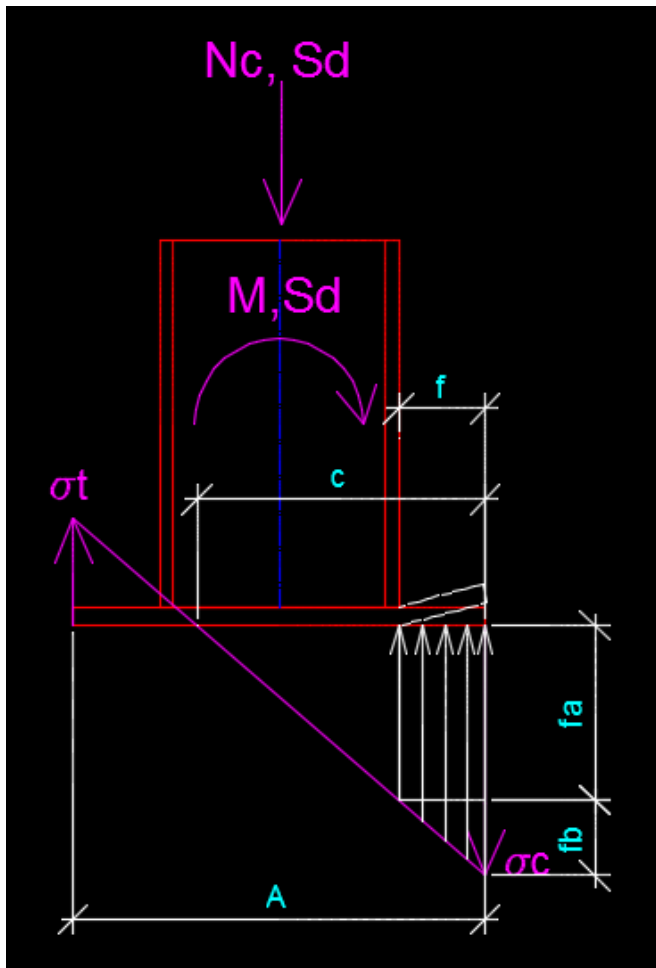
Esforço na linha de chumbadores tracionados:

$$T = \frac{M_{Sd} - N_{Sd} \cdot a}{Y}$$

Máximo valor admissível de σ_c :

$$\sigma_{c,Rd} = \frac{f_{ck}}{1,4 \cdot 1,4} \cdot \sqrt{\frac{A_2}{A_1}} \rightarrow 0,51 \cdot f_{ck} \cdot \sqrt{\frac{A_2}{A_1}}$$

Bases engastadas a Momento Fletor e compressão



Método matematicamente preciso:

$$\frac{c}{\sigma_c} = \frac{f}{f_b} \quad f_b = f \cdot \frac{\sigma_c}{c}$$

$$M_{ch} = \frac{f_a \cdot f^2}{2} + \frac{f_b \cdot f^2}{3}$$

Método Aproximado:

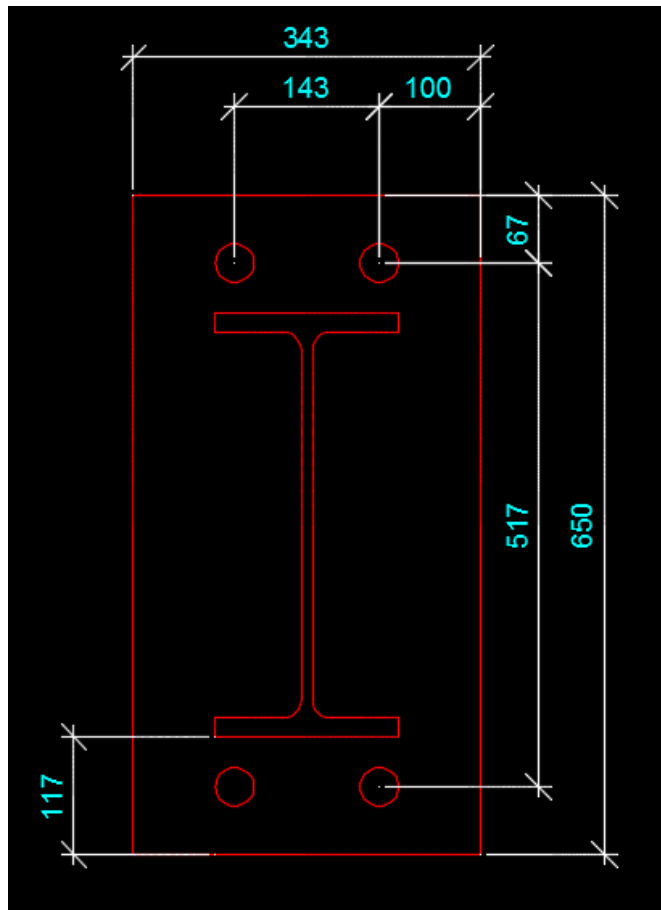
$$M_{ch} = \frac{\sigma_c \cdot f^2}{2}$$

Espessura da Chapa:

$$t = \sqrt{\frac{6 \cdot M_{ch}}{1,35 \cdot F_y}} \rightarrow t = 2,10 \cdot \sqrt{\frac{M_{ch}}{F_y}}$$

Bases engastadas a Momento Fletor e compressão

Exemplo 7: Dimensionar a chapa A36 de base abaixo... Adotar A2~A1 Concreto fck 30MPa
Chumbadores SAE1020



Cargas:

$$N_{Sd,Cp} = 250 \text{ kN} \quad N_{Sd,CA} = 350 \text{ kN}$$

$$M_{Sd,Cp} = 5000 \text{ kN.cm} \quad M_{Sd,CA} = 10.000 \text{ kN.cm}$$

$$H_{Sd,Cp} = 20 \text{ kN} \quad H_{Sd,CA} = 40 \text{ kN}$$

Cargas Fatoradas:

$$N_{Sd} = 1,4 \cdot 250 + 1,5 \cdot 350 = 875 \text{ kN}$$

$$M_{Sd} = 1,4 \cdot 5000 + 1,5 \cdot 10000 = 22000 \text{ kN.cm}$$

$$H_{Sd} = 1,4 \cdot 20 + 1,5 \cdot 40 = 88 \text{ kN}$$

Bases engastadas a Momento Fletor e compressão

$$\sigma_c = \frac{N_{Sd}}{A \cdot B} + \frac{M_{Sd}}{W} \rightarrow \frac{N_{Sd}}{A \cdot B} + \frac{6 \cdot M_{Sd}}{B \cdot A^2} \quad \sigma_c = \frac{875}{65 \cdot 34,3} + \frac{6 \cdot 22000}{34,3 \cdot 65^2} = 1,30 \text{ kN/cm}^2$$

$$\sigma_t = \frac{N_{Sd}}{A \cdot B} - \frac{M_{Sd}}{W} \rightarrow \frac{N_{Sd}}{A \cdot B} - \frac{6 \cdot M_{Sd}}{B \cdot A^2} \quad \sigma_t = \frac{875}{65 \cdot 34,3} - \frac{6 \cdot 22000}{34,3 \cdot 65^2} = 0,51 \text{ kN/cm}^2$$

Máximo valor admissível de σ_c :

$$\sigma_{c,Rd} = \frac{f_{ck}}{1,4 \cdot 1,4} \cdot \sqrt{\frac{A_2}{A_1}} \rightarrow 0,51 \cdot f_{ck} \cdot \sqrt{\frac{A_2}{A_1}} \quad \sigma_{c,Rd} = 0,51 \cdot 3,0 \cdot \sqrt{1} = 1,53 \text{ kN/cm}^2 \text{ OK!}$$

Tração nos chumbadores:

$$c = \frac{\sigma_c \cdot A}{\sigma_c + \sigma_t} = \frac{1,30 \cdot 65}{1,30 + 0,51} = 46,68 \text{ cm}$$

$$a = \frac{A}{2} - \frac{c}{3} = \frac{65}{2} - \frac{46,68}{3} = 16,94 \text{ cm}$$

$$Y = A - d - \frac{c}{3} = 65 - 6,7 - \frac{46,68}{3} = 42,74 \text{ cm}$$

$$T = \frac{M_{Sd} - N_{Sd} \cdot a}{Y} = \frac{22000 - 875 \cdot 16,94}{42,74} = 167,93 \text{ kN}$$

$$T = \frac{167,93}{2} = 83,96 \text{ kN por chumbador tracionado}$$

Bases engastadas a Momento Fletor e compressão

Espessura da placa de base:

Método matematicamente preciso:

$$\frac{c}{\sigma_c} = \frac{f}{f_b} \quad f_b = f \cdot \frac{\sigma_c}{c} \quad f_b = 11,7 \cdot \frac{1,3}{46,68} = 0,33 \text{ kN/cm}^2$$

$$f_a = \sigma_c - f_b = 1,3 - 0,33 = 0,97 \text{ kN/cm}^2$$

$$M_{ch} = \frac{f_a \cdot f^2}{2} + \frac{f_b \cdot f^2}{3} \quad M_{ch} = \frac{0,97 \cdot 11,7^2}{2} + \frac{0,33 \cdot 11,7^2}{3} = 81,44 \text{ kN.cm}$$

$$t = \sqrt{\frac{6 \cdot M_{ch}}{1,35 \cdot F_y}} \rightarrow t = 2,10 \cdot \sqrt{\frac{M_{ch}}{F_y}} \quad t = 2,10 \cdot \sqrt{\frac{81,44}{25}} = 3,79 \text{ cm} \approx 38 \text{ mm}$$

Método aproximado:

$$M_{ch} = \frac{\sigma_c \cdot f^2}{2} = \frac{1,3 \cdot 11,7^2}{2} = 88,97 \text{ kN.cm} \quad t = 2,10 \cdot \sqrt{\frac{88,97}{25}} = 3,96 \text{ cm} \approx 40 \text{ mm}$$

Bases engastadas a Momento Fletor e compressão

São 4 chumbadores sujeitos ao cisalhamento, portanto:

$$V_{sd} = \frac{88}{4} = 22 \text{ kN}$$

$$d_{chu} = \sqrt{1,27 \cdot \sqrt{\frac{11,39 \cdot V_{sd}^2 + 3,24 \cdot N_{sd}^2}{Fu^2}}} \rightarrow d_{chu} = \sqrt{1,27 \cdot \sqrt{\frac{11,39 \cdot 22^2 + 3,24 \cdot 83,96^2}{38,7^2}}} \rightarrow = 2,35 \text{ cm}$$

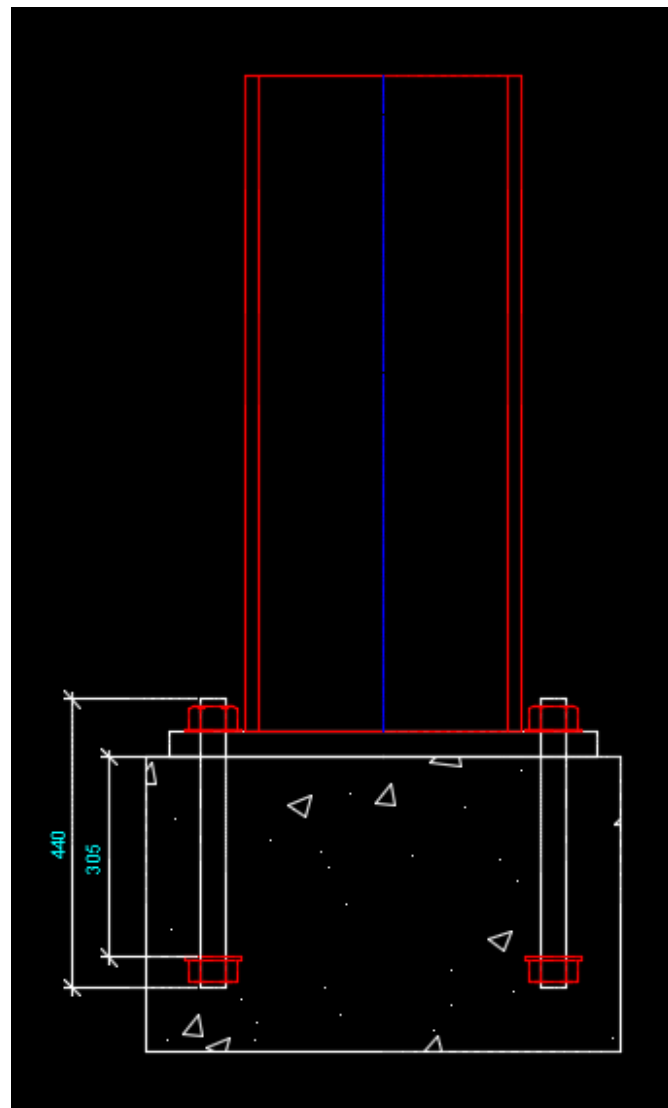
Adotado 1'': 25,4mm $L_c = 12 \cdot d = 12 \cdot 25,4 = 304,8 \text{ mm} \approx 305 \text{ mm}$

$$A_{cone} = \pi \cdot L_c^2 - \frac{\left[\pi \cdot L_c^2 \cdot \cos^{-1} \left(\frac{X}{2L_c} \right) \right]}{180} + \frac{X}{2} \sqrt{L_c^2 - \frac{X^2}{4}}$$

$$A_{cone} = \pi \cdot 30,5^2 - \frac{\left[\pi \cdot 30,5^2 \cdot \cos^{-1} \left(\frac{14,3}{2 \cdot 30,5} \right) \right]}{180} + \frac{14,3}{2} \sqrt{30,5^2 - \frac{14,3^2}{4}} = 1894 \text{ cm}^2$$

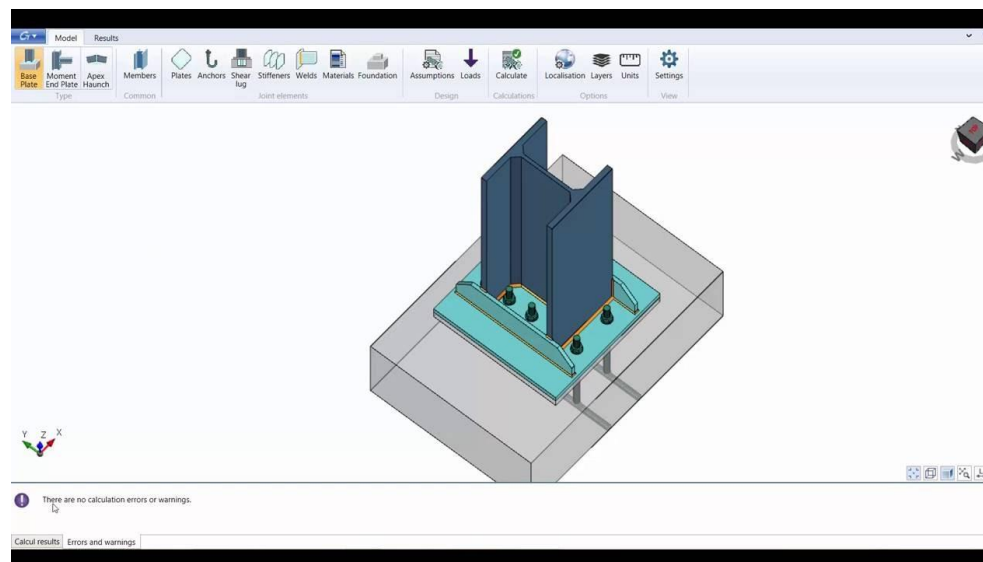
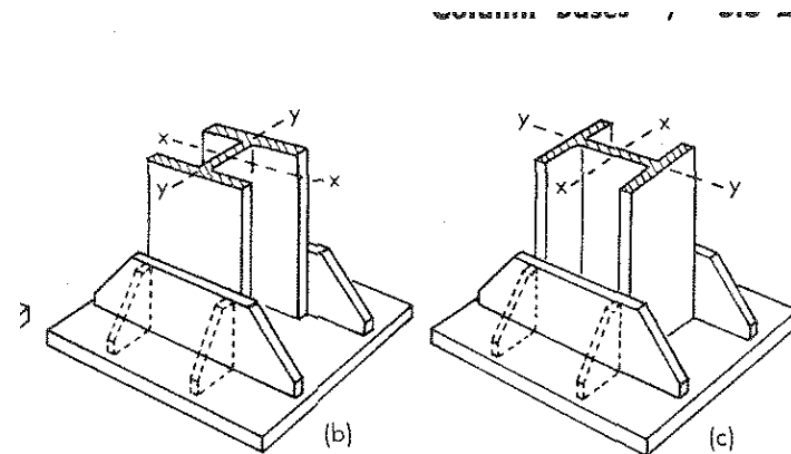
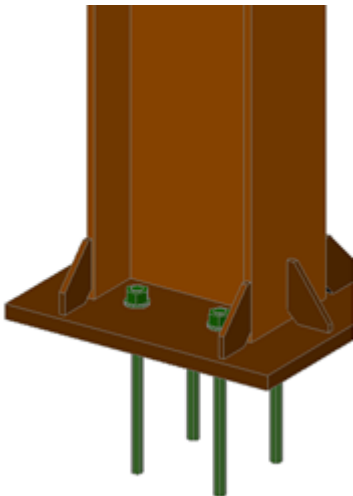
$$A_{cone} = \frac{N_{tSd}}{0,055 \cdot f_{ck}} \quad A_{cone} = \frac{83,96}{0,055 \cdot 3} = 508,84 \text{ cm}^2 < 1894 \text{ cm}^2 \text{ OK!}$$

Bases engastadas a Momento Fletor e compressão



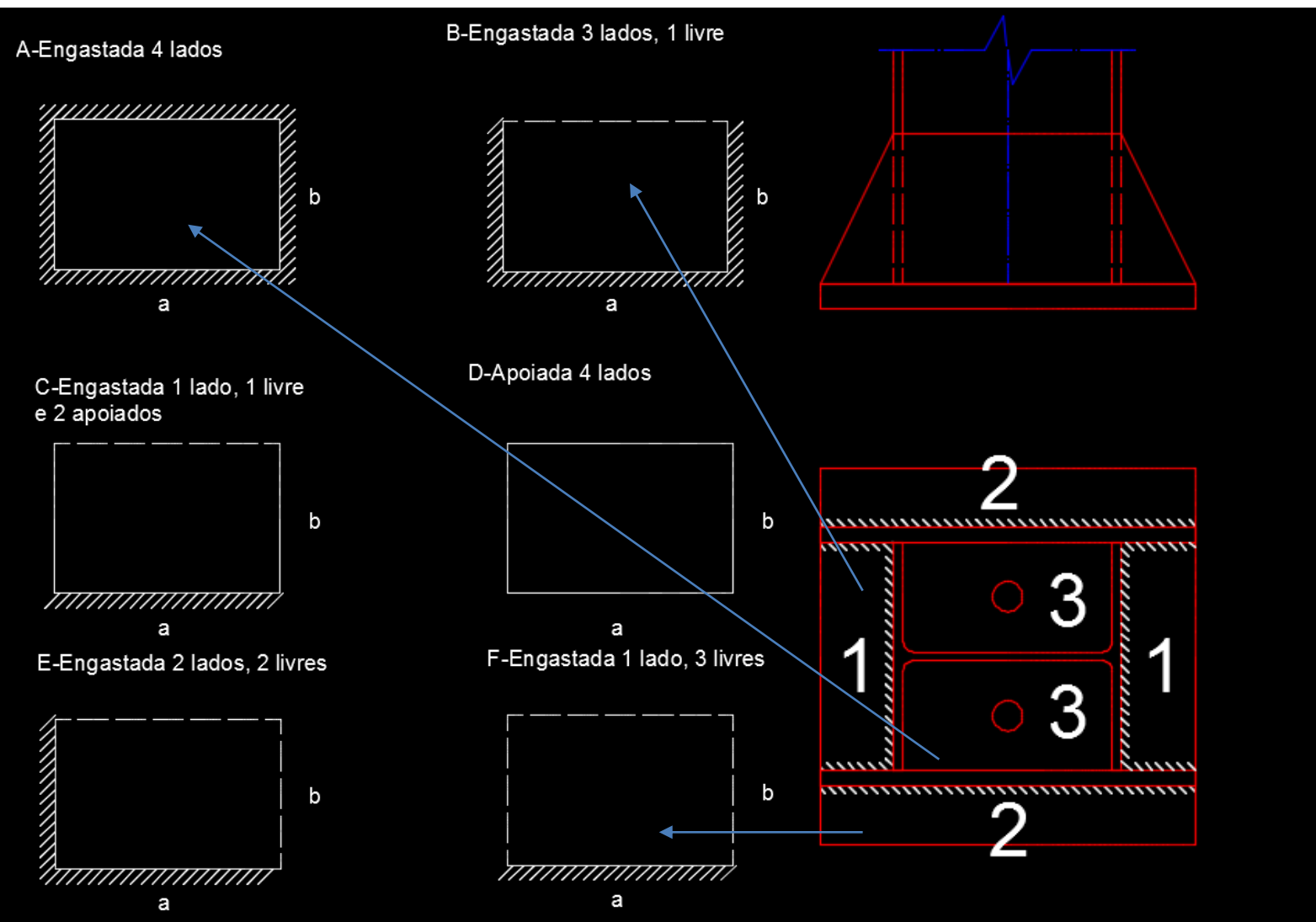
Curso de Projeto e Cálculo de Estruturas metálicas

Bases com enrijecedores



Curso de Projeto e Cálculo de Estruturas metálicas

Bases com enrijecedores



Bases com enrijecedores

Extraído do livro "Formulas for Stress and Strain, 5^a Edição" - Roark, R.J & Young, C.W

| Vinculação A | 1 | 1,2 | 1,4 | 1,6 | 1,8 | 2 |
|--------------|------|------|------|------|------|------|
| a/b | 1 | 1,2 | 1,4 | 1,6 | 1,8 | 2 |
| β | 0,31 | 0,38 | 0,44 | 0,47 | 0,49 | 0,52 |

| Vinculação B | 0,25 | 0,5 | 0,75 | 1 | 1,5 | 2 | 3 |
|--------------|------|------|------|------|------|-----|-----|
| a/b | 0,25 | 0,5 | 0,75 | 1 | 1,5 | 2 | 3 |
| β | 0,02 | 0,08 | 0,17 | 0,32 | 0,73 | 1,2 | 2,1 |

| Vinculação C | 0,5 | 0,67 | 1 | 1,5 | 2 | infinito |
|--------------|------|------|------|------|------|----------|
| a/b | 0,5 | 0,67 | 1 | 1,5 | 2 | infinito |
| β | 0,36 | 0,45 | 0,67 | 0,77 | 0,79 | 0,8 |

| Vinculação D | 0,25 | 0,5 | 0,75 | 1 | 1,5 | 2 | 3 |
|--------------|------|------|------|------|------|-----|-----|
| a/b | 0,25 | 0,5 | 0,75 | 1 | 1,5 | 2 | 3 |
| β | 0,05 | 0,19 | 0,39 | 0,67 | 1,28 | 1,8 | 2,5 |

| Vinculação E | 1 | 1,2 | 1,4 | 1,6 | 1,8 | 2 | 3 |
|--------------|------|------|------|------|------|------|------|
| a/b | 1 | 1,2 | 1,4 | 1,6 | 1,8 | 2 | 3 |
| β | 0,29 | 0,38 | 0,45 | 0,52 | 0,57 | 0,61 | 0,71 |

| Vinculação F | 0,125 | 0,25 | 0,375 | 0,5 | 0,75 | 1 |
|--------------|-------|------|-------|------|------|-----|
| a/b | 0,125 | 0,25 | 0,375 | 0,5 | 0,75 | 1 |
| β | 0,05 | 0,19 | 0,4 | 0,63 | 1,25 | 1,8 |

$$t = b \cdot \sqrt{\frac{\beta \cdot \sigma_c}{1,35 \cdot F_y}}$$

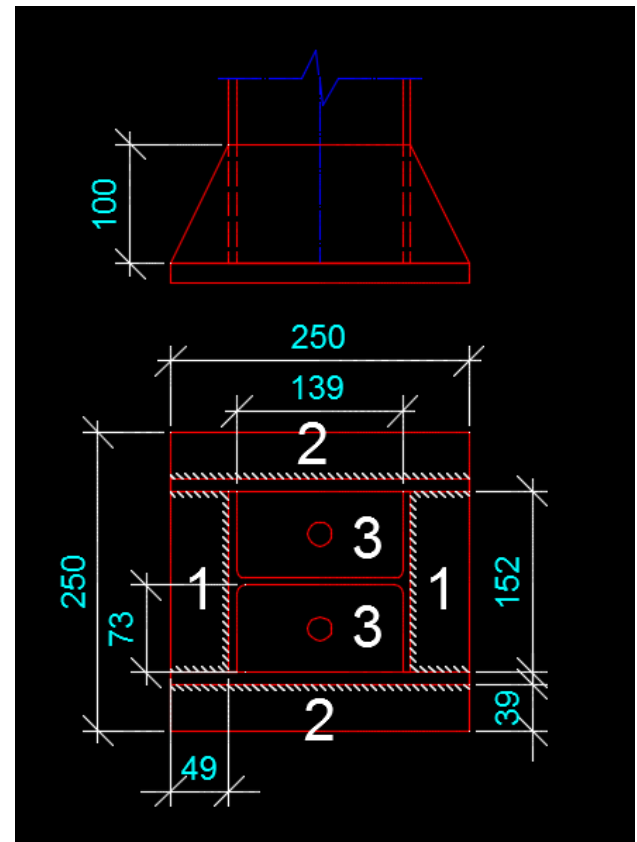
Bases de pilares com enrijecedores

Exemplo 5B: Dimensionar a espessura da chapa A36 de base, apoiada sobre um bloco de 500mm x 500mm de concreto $f_{ck}=30\text{Mpa}$, para um pilar W150X22,5(H) e sujeita a uma carga de compressão axial de 1250kN

$$\sigma_c = \frac{N_{sd}}{A_{pb}} = \frac{1250}{25.25} = 2,0 \text{ kN/cm}^2$$

$$\sigma_{c,Rd} = 0,51 \cdot f_{ck} \cdot \sqrt{\frac{A_2}{A_1}}$$

$$\sigma_{c,Rd} = 0,51 \cdot 3,0 \cdot \sqrt{\frac{50 \cdot 50}{25 \cdot 25}} = 3,06 \text{ porém } < 3,00 \text{ kN/cm}^2 \text{ Ok!}$$



Bases de pilares com enrijecedores

Setor 1: Vinculação tipo B

$$\frac{a}{b} = \frac{15,2}{4,9} = 3,10 \rightarrow \beta = 2,10 \quad t = b \cdot \sqrt{\frac{\beta \cdot \sigma_c}{1,35 \cdot F_y}} \quad t = 4,9 \cdot \sqrt{\frac{2,10 \cdot 2,0}{1,35 \cdot 25}} = 1,72\text{cm}$$

Setor 2: Calculado como console simples

$$M_{ch} = \frac{\sigma_c \cdot f^2}{2} = \frac{2,0 \cdot 3,9^2}{2} = 15,21 \text{ kN.cm}$$

$$t = \sqrt{\frac{6 \cdot M_{ch}}{1,35 \cdot F_y}} \rightarrow t = 2,10 \cdot \sqrt{\frac{15,21}{25}} = 1,64 \text{ cm}$$

Setor 3: Vinculação tipo A

$$\frac{a}{b} = \frac{13,9}{7,3} = 1,904 \approx 2,00 \rightarrow \beta = 0,52 \quad t = 7,3 \cdot \sqrt{\frac{0,52 \cdot 2,0}{1,35 \cdot 25}} = 1,28\text{cm}$$

Como das três verificações, a do setor 1 é mais crítica, adotaremos essa como especificação (t=19mm)

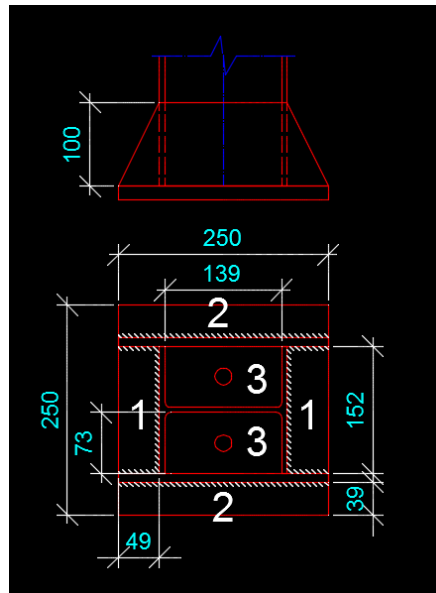
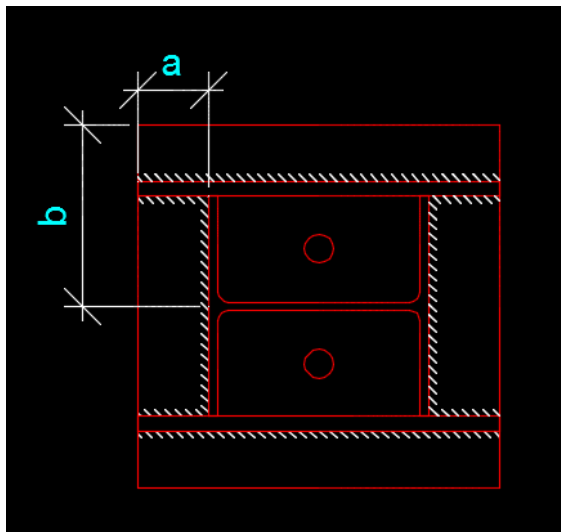
Bases de pilares com enrijecedores

Cálculo da chapa de reforço:

$$M_{ch} = \frac{\sigma_c \cdot b \cdot a^2}{2}$$

$$M_{ch} = \frac{2,0 \cdot 12,5 \cdot 4,9^2}{2} = 300 \text{ kN.cm}$$

$$M_{Rd} = \frac{W_{ch} \cdot F_y}{1,1} \quad W_{ch} = \frac{t \cdot h^2}{6} = \quad t = \frac{6,6 \cdot M_{ch}}{h^2 \cdot F_y} = \frac{6,6 \cdot 300}{10^2 \cdot 25} = 7,92 \text{ mm} \approx 8 \text{ mm}$$



peso total

$$P_{PB} = 0,25 \cdot 0,25 \cdot 0,019 \cdot 7850 = 9,32 \text{ kg}$$

$$P_{enr} = 0,1 \cdot 0,25 \cdot 0,008 \cdot 7850 - 2 \cdot 0,1 \cdot 0,049 \cdot 0,008 \cdot 7850 = 0,95 \text{ kg}$$

$$T_{total} = 9,32 + 2 \cdot 0,95 = 11,22 \text{ kg}$$

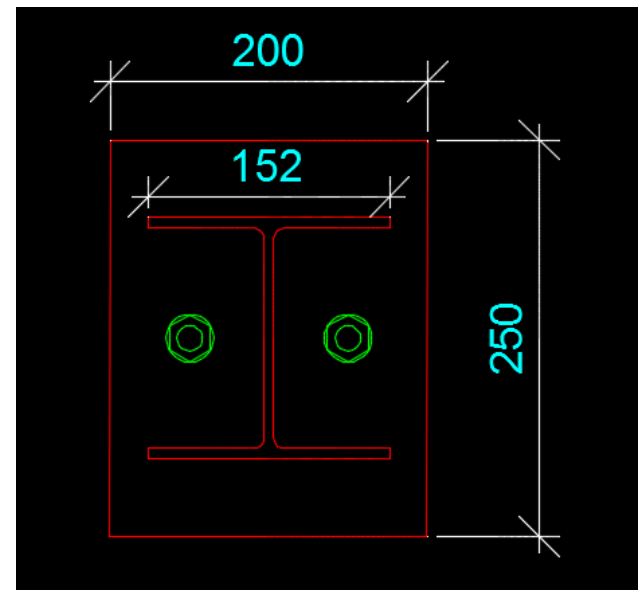
Comparando ao projeto sem enrijecedores

Exemplo 5C: Dimensionar a espessura da chapa A36 de base, apoiada sobre um bloco de 500mm x 500mm de concreto $f_{ck}=30\text{Mpa}$, para um pilar W150X22,5(H) e sujeita a uma carga de compressão axial de 1250kN

$$n' = \sqrt{\frac{d \cdot b f}{4}} \rightarrow n' = \sqrt{\frac{15,2 \cdot 15,2}{4}} = 7,6\text{cm}$$

$$m = \frac{Y - 0,95d}{2} \quad m = \frac{25 - 0,95 \cdot 15,2}{2} = 5,28\text{cm}$$

$$n = \frac{X - 0,8bf}{2} \quad n = \frac{20 - 0,8 \cdot 15,2}{2} = 3,92\text{cm}$$



Comparando ao projeto sem enrijecedores

$$\sigma_c = \frac{N_{Sd}}{X \cdot Y} \quad \sigma_c = \frac{1250}{20 \cdot 25} = 2,5 kN/cm^2$$

$$\sigma_{c,Rd} = 0,51 \cdot f_{ck} \cdot \sqrt{\frac{A_2}{A_1}} \quad \sigma_{c,Rd} = 0,51 \cdot 3,0 \cdot \sqrt{\frac{50 \cdot 50}{20 \cdot 3,0}} = 3,42 \frac{kN}{cm^2},$$

Porém $\sigma_c \leq f_{ck} = 3,0 kN/cm^2$

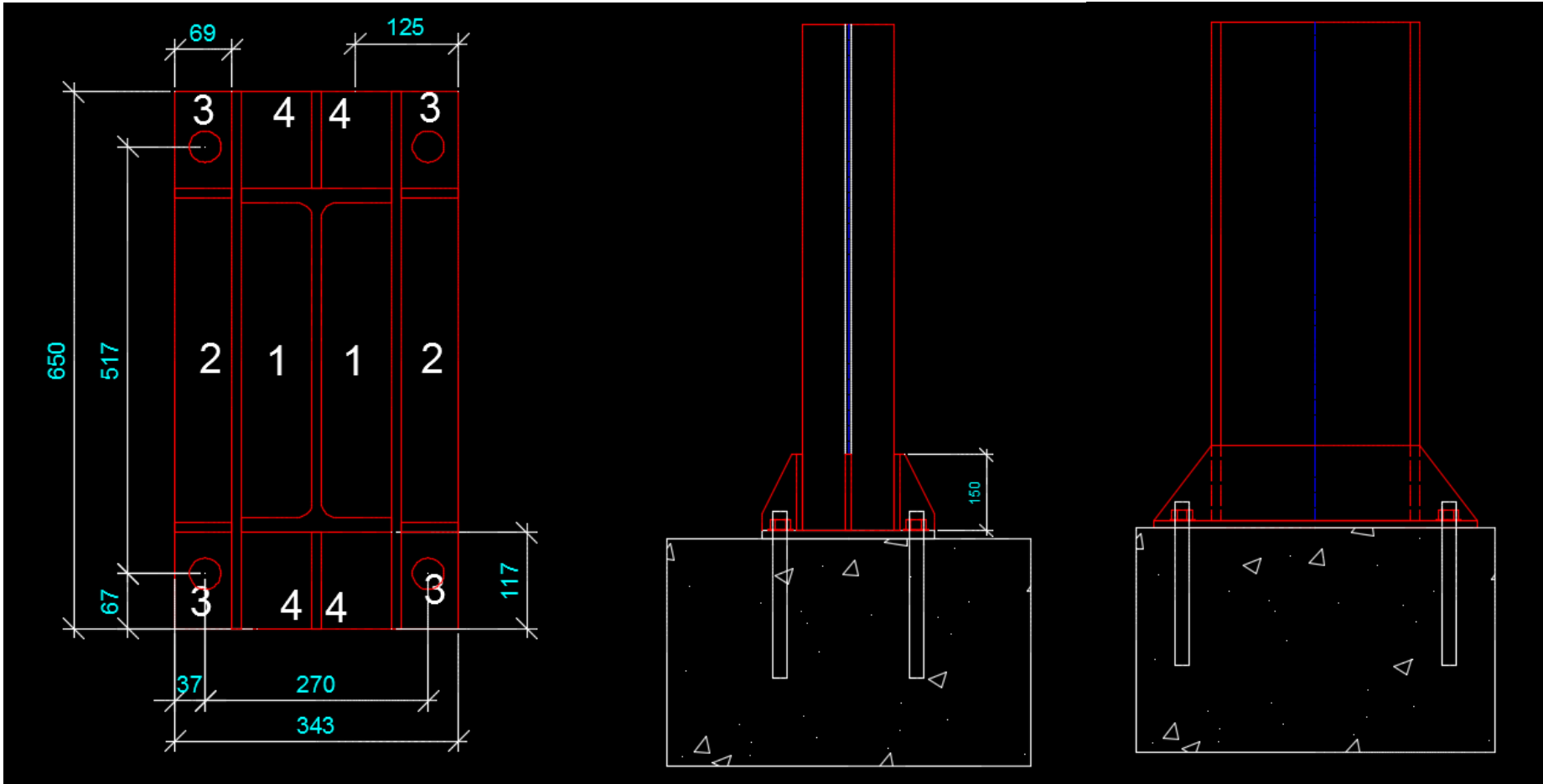
$$t = 1,49 \cdot l \cdot \sqrt{\frac{\sigma_c}{F_y}}$$

$$t = 1,49 \cdot 7,6 \cdot \sqrt{\frac{2,5}{25}} = 3,58 cm \approx 38mm \quad P_{PB} = 0,20 \cdot 0,25 \cdot 0,038 \cdot 7850 = 14,92 kg$$

A chapa enrijecida representa, neste caso, economia de 25% em peso de aço.

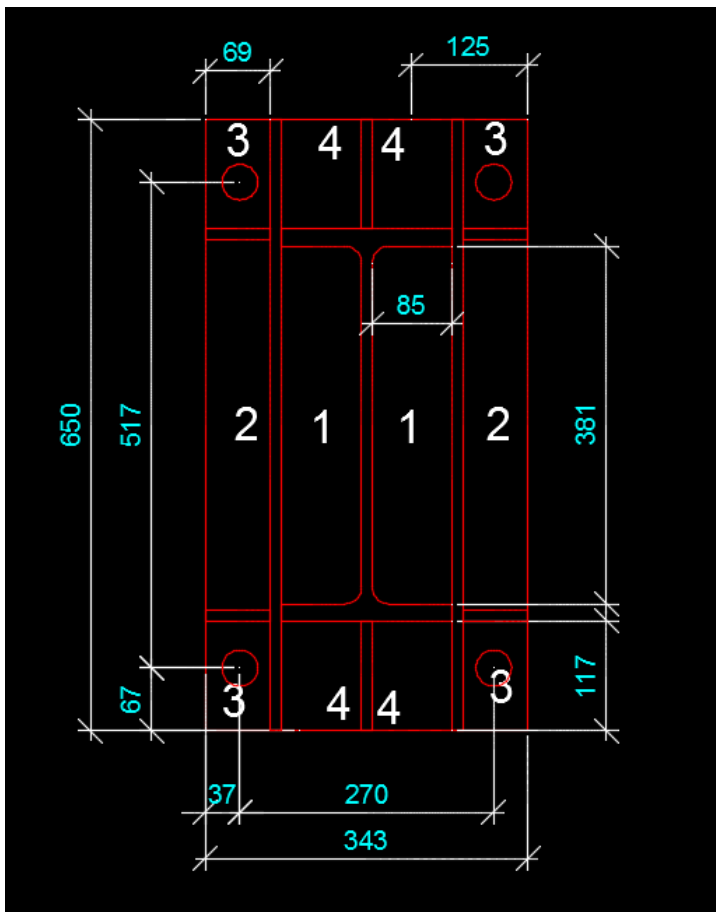
Bases engastadas a Momento Fletor e compressão

Exemplo 7: Dimensionar a chapa A36 de base abaixo... Adotar A2~A1 Concreto fck 30MPa
Chumbadores SAE1020



Bases engastadas a Momento Fletor e compressão

Exemplo 7B: Dimensionar a chapa A36 de base abaixo... Adotar A2~A1 Concreto fck 30MPa
Chumbadores SAE1020



Cargas:

$$N_{Sd,Cp} = 250 \text{ kN} \quad N_{Sd,CA} = 350 \text{ kN}$$

$$M_{Sd,Cp} = 5000 \text{ kN.cm} \quad M_{Sd,CA} = 10.000 \text{ kN.cm}$$

$$H_{Sd,Cp} = 20 \text{ kN} \quad H_{Sd,CA} = 40 \text{ kN}$$

Cargas Fatoradas:

$$N_{Sd} = 1,4 \cdot 250 + 1,5 \cdot 350 = 875 \text{ kN}$$

$$M_{Sd} = 1,4 \cdot 5000 + 1,5 \cdot 10000 = 22000 \text{ kN.cm}$$

$$H_{Sd} = 1,4 \cdot 20 + 1,5 \cdot 40 = 88 \text{ kN}$$

Bases engastadas a Momento Fletor e compressão

$$\sigma_c = \frac{N_{Sd}}{A \cdot B} + \frac{M_{Sd}}{W} \rightarrow \frac{N_{Sd}}{A \cdot B} + \frac{6 \cdot M_{Sd}}{B \cdot A^2} \quad \sigma_c = \frac{875}{65 \cdot 34,3} + \frac{6 \cdot 22000}{34,3 \cdot 65^2} = 1,30 \text{ kN/cm}^2$$

$$\sigma_t = \frac{N_{Sd}}{A \cdot B} - \frac{M_{Sd}}{W} \rightarrow \frac{N_{Sd}}{A \cdot B} - \frac{6 \cdot M_{Sd}}{B \cdot A^2} \quad \sigma_t = \frac{875}{65 \cdot 34,3} - \frac{6 \cdot 22000}{34,3 \cdot 65^2} = 0,51 \text{ kN/cm}^2$$

Máximo valor admissível de σ_c :

$$\sigma_{c,Rd} = \frac{f_{ck}}{1,4 \cdot 1,4} \cdot \sqrt{\frac{A_2}{A_1}} \rightarrow 0,51 \cdot f_{ck} \cdot \sqrt{\frac{A_2}{A_1}} \quad \sigma_{c,Rd} = 0,51 \cdot 3,0 \cdot \sqrt{1} = 1,53 \text{ kN/cm}^2 \text{ OK!}$$

Tração nos chumbadores:

$$c = \frac{\sigma_c \cdot A}{\sigma_c + \sigma_t} = \frac{1,30 \cdot 65}{1,30 + 0,51} = 46,68 \text{ cm}$$

$$a = \frac{A}{2} - \frac{c}{3} = \frac{65}{2} - \frac{46,68}{3} = 16,94 \text{ cm}$$

$$Y = A - d - \frac{c}{3} = 65 - 6,7 - \frac{46,68}{3} = 42,74 \text{ cm}$$

$$T = \frac{M_{Sd} - N_{Sd} \cdot a}{Y} = \frac{22000 - 875 \cdot 16,94}{42,74} = 167,93 \text{ kN}$$

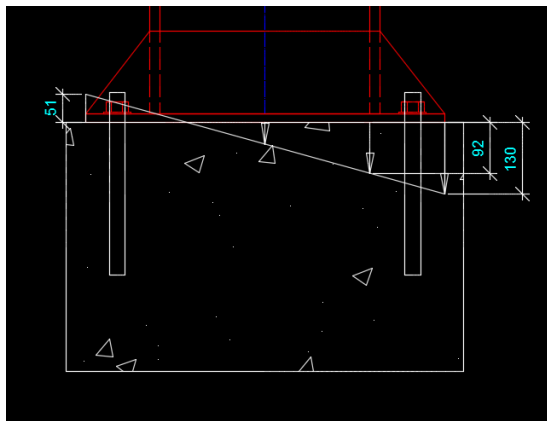
$$T = \frac{167,93}{2} = 83,96 \text{ kN por chumbador tracionado}$$

Bases de pilares com enrijecedores

Setor 1: Vinculação tipo A

$$\frac{a}{b} = \frac{38,1}{8,5} = 4,48 \rightarrow \beta = 0,52$$

$$t = b \cdot \sqrt{\frac{\beta \cdot \sigma_c}{1,35 \cdot F_y}} \quad t = 8,5 \cdot \sqrt{\frac{0,52 \cdot 0,92}{1,35 \cdot 25}} = 1,01\text{cm}$$



Por semelhança de triângulos, temos que a regiões 1 e 2 sofrem compressão máxima de 0,92 kN/cm²

Setor 2: Vinculação tipo B

$$\frac{a}{b} = \frac{38,1}{6,9} = 5,52 \rightarrow \beta = 2,10$$

$$t = b \cdot \sqrt{\frac{\beta \cdot \sigma_c}{1,35 \cdot F_y}} \quad t = 6,9 \cdot \sqrt{\frac{2,10 \cdot 0,92}{1,35 \cdot 25}} = 1,65\text{cm}$$

Bases de pilares com enrijecedores

Setor 3: Vinculação tipo E

$$\frac{a}{b} = \frac{11,7}{6,9} = 1,69 \rightarrow \beta = 0,57 \quad t = b \cdot \sqrt{\frac{\beta \cdot \sigma_c}{1,35 \cdot F_y}} \quad t = 6,9 \cdot \sqrt{\frac{0,57 \cdot 1,30}{1,35 \cdot 25}} = 1,02\text{cm}$$

Setor 4: Vinculação tipo B

$$\frac{a}{b} = \frac{8,5}{11,7} = 0,72 \rightarrow \beta = 0,17 \quad t = b \cdot \sqrt{\frac{\beta \cdot \sigma_c}{1,35 \cdot F_y}} \quad t = 11,7 \cdot \sqrt{\frac{0,17 \cdot 1,30}{1,35 \cdot 25}} = 0,95\text{cm}$$

Adotado espessura 19mm devido a verificação da região 2

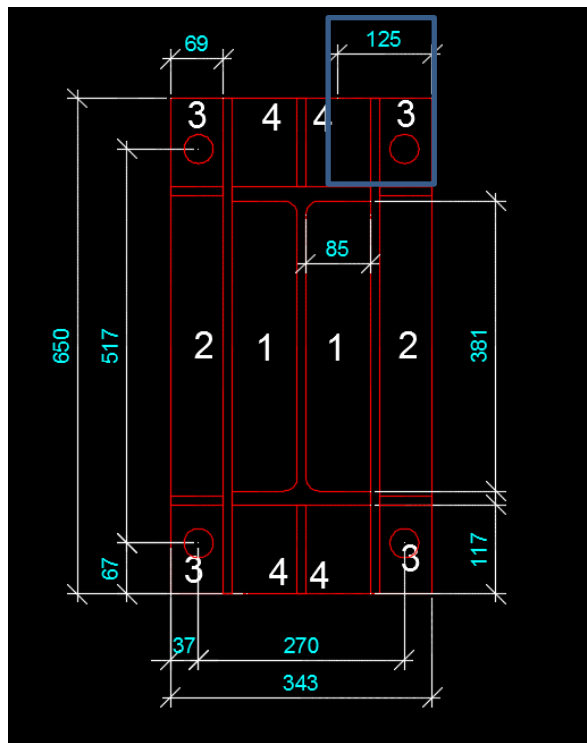
Bases de pilares com enrijecedores

Verificação dos enrijecedores

$$M_{ch} = \frac{\sigma_c \cdot b \cdot a^2}{2}$$

$$M_{ch} = \frac{1,3 \cdot 12,5 \cdot 11,7^2}{2} = 1112 \text{ kN.cm}$$

Errata: No vídeo
consta 10cm –
Corrigido para 15cm



$$t = \frac{6,6 \cdot M_{ch}}{h^2 \cdot F_y} = \frac{6,6 \cdot 1112}{15^2 \cdot 25} = 1,3 \text{ cm} \approx 16 \text{ mm}$$

Supondo que tenhamos disponíveis apenas chapas de 10mm:

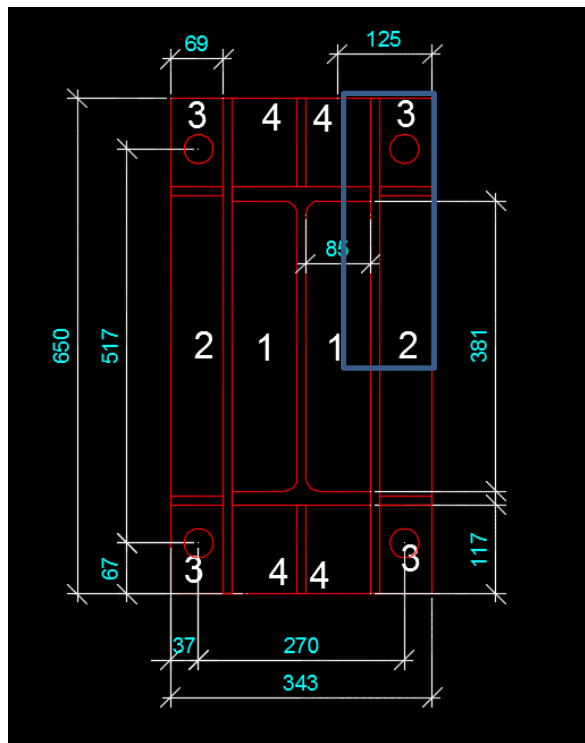
$$h = \sqrt{\frac{6,6 \cdot M_{ch}}{t \cdot F_y}} = \sqrt{\frac{6,6 \cdot 1112}{1,0 \cdot 25}} = 17,13 \text{ cm} \approx 180 \text{ mm}$$

Bases de pilares com enrijecedores

Verificação dos enrijecedores

$$M_{ch} = \frac{\sigma_c \cdot b \cdot a^2}{2}$$

$$M_{ch} = \frac{1,3 \cdot 32,5 \cdot 6,9^2}{2} = 1006 \text{ kN.cm}$$



$$t = \frac{6,6 \cdot M_{ch}}{h^2 \cdot F_y} = \frac{6,6 \cdot 1006}{18^2 \cdot 25} = 8,19 \text{ mm} < 10 \text{ mm OK!}$$

Peso da placa de base sem enrijecedor (ex.6)

$$P_{PB} = 0,343 \cdot 0,65 \cdot 0,038 \cdot 7850 = 66,50 \text{ kg}$$

Peso da placa de base enrijecida

$$P_{PB} = 0,343 \cdot 0,65 \cdot 0,019 \cdot 7850 = 35 \text{ kg}$$

$$P_{enr} = [2 \cdot (65 \cdot 18 - 18 \cdot 11,7) \cdot 1,0 + (18 \cdot 11 \cdot 11,7) \cdot 1,0 + (6,9 \cdot 18 \cdot 2) \cdot 1,0] \cdot 0,007850 = 18,67 \text{ kg}$$

$$P_{Total} = 35 + 18,67 = 53,67 \text{ kg } (-19,3\%)$$

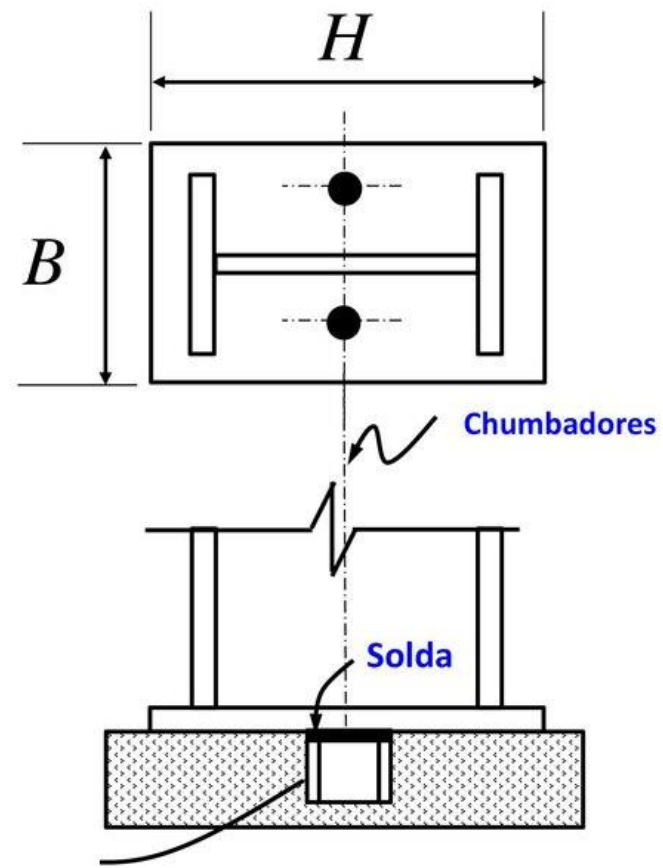
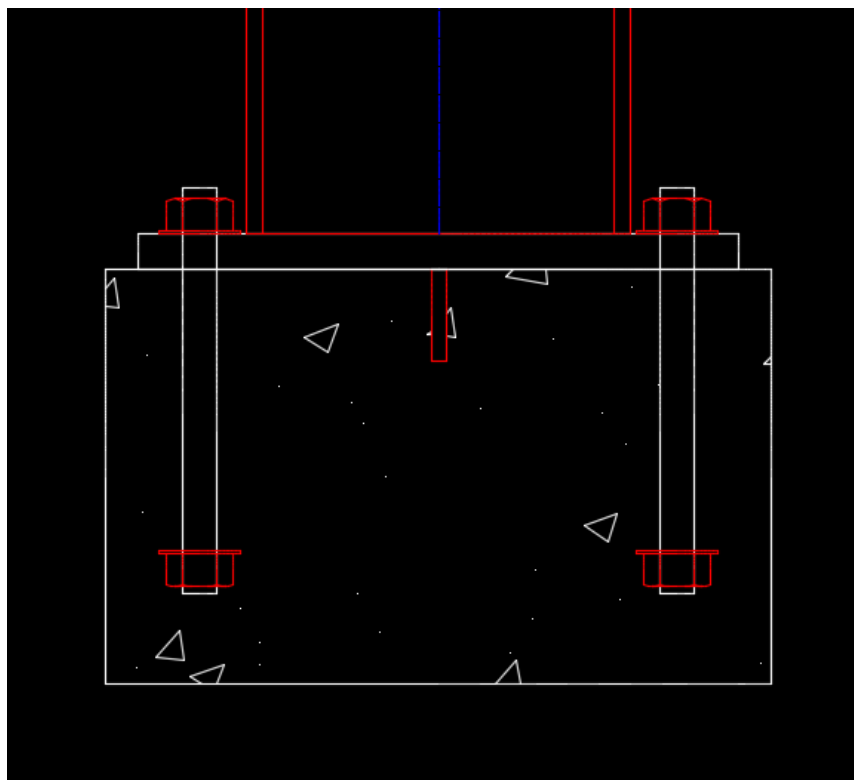
PARTE 4

BARRAS DE

CISALHAMENTO

Curso de Projeto e Cálculo de Estruturas metálicas

Barras de cisalhamento



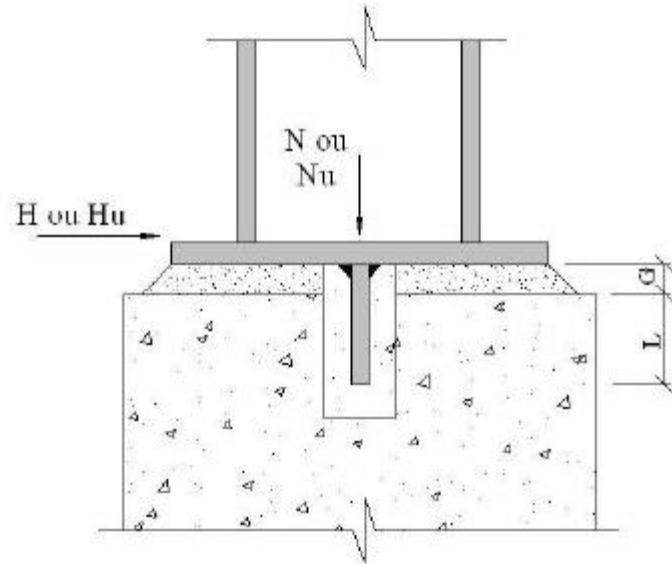
Barras de cisalhamento

$$H_{tr} = H - \frac{0,55 \cdot N_{sd}}{1,10} \rightarrow \text{Sendo } 0,55 \text{ o coeficiente de atrito Aço – Concreto}$$

$$A_{esm} = \frac{H_{tr}}{0,51 F_{ck}}$$

$$M_{sd} = \frac{H_{tr}}{b} \cdot \left(\frac{L}{2} + G \right)$$

$$t = \sqrt{\frac{6,6 \cdot M_{sd}}{F_y}}$$



Barras de cisalhamento

Exemplo 8: Dimensionar a espessura da barra de cisalhamento para uma placa de base 360mm x 360mm sujeita a uma carga horizontal de 420 kN e 540 kN de cargas verticais permanentes de compressão. Adotar 20cm de barra de cisalhamento, enchimento de grout de 5cm, e concreto 21MPa

$$H_{tr} = H - \frac{0,55 \cdot N_{sd}}{1,10} \rightarrow 420 - \frac{0,55 \cdot 540}{1,10} = 150 \text{ kN}$$

$$A_{esm} = \frac{H_{tr}}{0,51 F_{ck}} \quad A_{esm} = \frac{150}{0,51 \cdot 2,1} = 140 \text{ cm}^2 \quad L = \frac{140}{20} = 7 \text{ cm} \quad + 5\text{cm} = 12\text{cm}$$

$$M_{sd} = \frac{H_{tr}}{b} \cdot \left(\frac{L}{2} + G \right) \quad M_{sd} = \frac{150}{20} \cdot \left(\frac{7}{2} + 5 \right) = 63,75 \text{ kN.cm}$$

$$t = \sqrt{\frac{6,6 \cdot M_{sd}}{F_y}} \quad t = \sqrt{\frac{6,6 \cdot 63,75}{25}} = 4,10\text{cm}$$

Barras de cisalhamento

Usando toda a largura da chapa

$$H_{tr} = H - \frac{0,55 \cdot N_{sd}}{1,10} \rightarrow 420 - \frac{0,55 \cdot 540}{1,10} = 150 \text{ kN}$$

$$A_{esm} = \frac{H_{tr}}{0,51 F_{ck}} \quad A_{esm} = \frac{150}{0,51 \cdot 2,1} = 140 \text{ cm}^2$$

$$M_{sd} = \frac{H_{tr}}{b} \cdot \left(\frac{L}{2} + G \right) \quad M_{sd} = \frac{150}{36} \cdot \left(\frac{7}{2} + 5 \right) = 35,41 \text{ kN.cm}$$

$$t = \sqrt{\frac{6,6 \cdot M_{sd}}{F_y}} \quad t = \sqrt{\frac{6,6 \cdot 35,41}{25}} = 3,05 \text{ cm} \approx 32 \text{ mm}$$